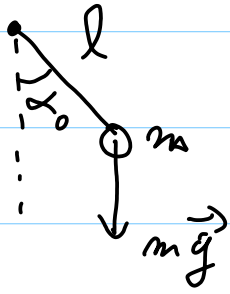


18.02.2020

§ Quadratur

§ 1.1. Einführung.

Bsp 1) Math. Pendulum



Periode $T = 4 \sqrt{\frac{l}{g}} K(\sin \frac{\alpha_0}{2})$

$$K(\alpha) = \int_0^{\pi/2} \frac{1}{\sqrt{1 - \alpha^2 \sin^2 \theta}} d\theta$$

2)
$$\sigma = \frac{1}{t^4} \int_0^{\infty} E(\lambda, t) d\lambda$$

mit
$$E(\lambda, t) = \frac{e^{-\lambda t}}{\lambda^5 (e^{\frac{c_2}{\lambda t}} - 1)}$$

Aufgabe: $f: [a, b] \rightarrow \mathbb{R}$

Berechne
$$J = \int_a^b f(x) dx \approx Q(f, a, b) = \sum_{j=1}^p w_j f(x_j)$$

\uparrow Gewichte
 \uparrow Knoten

Ziel: Wähle w_j, x_j , Strategie so dass Fehler $|J - Q|$ und Kosten klein sind!

Idee $f \approx$ einfache Funktion, dessen Integral analytisch berechenbar ist.

z.B. $f \approx \alpha_0 + \alpha_1 x + \dots + \alpha_n x^n = P_n(x)$

$f \approx$ trigonometrischen Polynom. = $\alpha_0 + \alpha_1 e^{ix} + \alpha_2 e^{i2x} + \dots$
 $+ \alpha_{-1} e^{i(-1)x} + \alpha_{-2} e^{i(-2)x} + \dots$

Gegeben Knoten x_0, x_1, \dots, x_n
 kann man $\alpha_0, \alpha_1, \dots, \alpha_n$ berechnen, so dass
 $p_n(x) = \alpha_0 + \alpha_1 x + \dots + \alpha_n x^n$ erfüllt

$$p_n(x_j) = f(x_j) \quad \text{für } j=0, 1, 2, \dots, n.$$

Im Prinzip ist das das LGS.

$$\begin{bmatrix} 1 & x_0 & \dots & x_0^n \\ 1 & x_1 & \dots & x_1^n \\ 1 & x_2 & \dots & x_2^n \\ \vdots & \vdots & \dots & \vdots \\ 1 & x_n & \dots & x_n^n \end{bmatrix} \begin{bmatrix} \alpha_0 \\ \alpha_1 \\ \alpha_2 \\ \vdots \\ \alpha_n \end{bmatrix} = \begin{bmatrix} f(x_0) \\ f(x_1) \\ \vdots \\ f(x_n) \end{bmatrix}$$



Somit $f(x) \approx p(x)$ und dann

$$\int_a^b f(x) dx \approx \int_a^b p(x) dx = \text{exakt}$$

\Rightarrow das liefert letztendlich Gewichte w_0, \dots, w_n .

Man kann beweisen:

$f \in C^n[a, b]$ (falls f n Mal stetig differenzierbar auf $[a, b]$)
 \Rightarrow

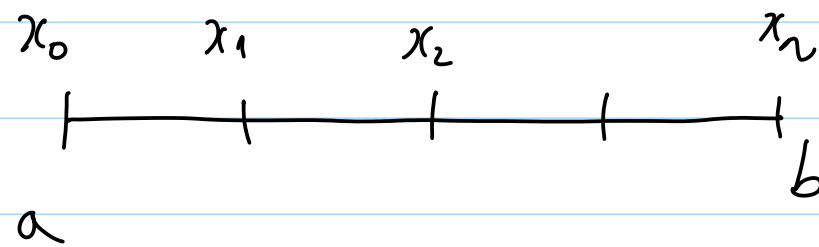
$$|J-Q| \leq \frac{1}{n!} (b-a)^{n+1} \max_{z \in [a, b]} |f^{(n)}(z)|$$

$n!$

$z \in [a, b]$

Länge des Intervalls ist wichtig
 Glattheit von f wichtig

Idee Zerlege $\int_a^b f(x) dx = \sum_{k=0}^{n-1} \int_{x_k}^{x_{k+1}} f(x) dx$



$$x_k = x_0 + kh \quad \text{mit } h = \frac{b-a}{n} \text{ klein, } n \in \mathbb{N} \text{ gross.}$$

und wende die Quadraturformel auf jedem kleinen Intervall der Länge h

\Rightarrow zusammengesetzte Quadraturformel

Fehler:

$$\left| \int_a^b f(x) dx - \sum_{k=0}^{N-1} Q(f, x_k, x_{k+1}) \right| \leq$$

$$\sum_{k=0}^{N-1} \int_{x_k}^{x_{k+1}} f(x) dx$$

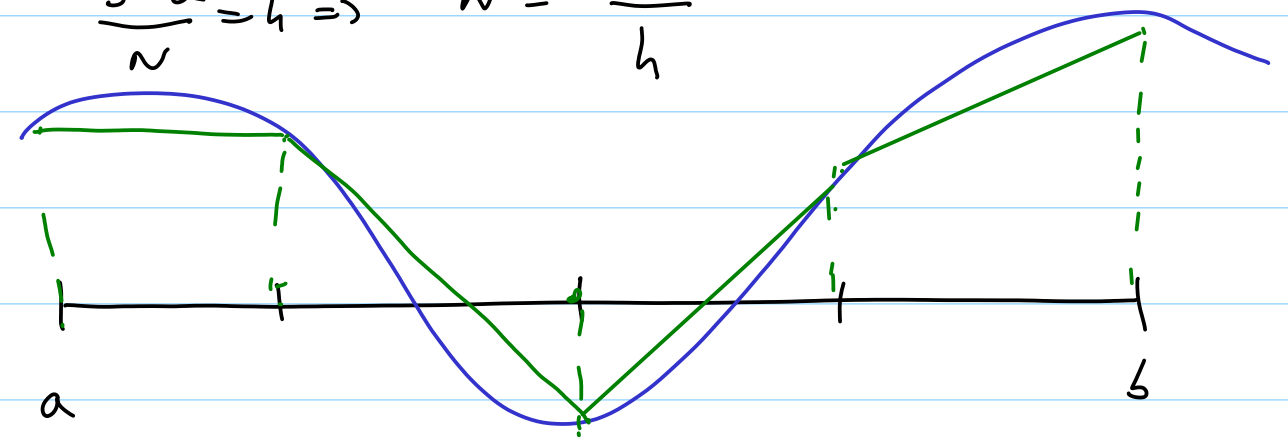
$$\leq \sum_{k=0}^{N-1} \left| \int_{x_k}^{x_{k+1}} f(x) dx - Q(f, x_k, x_{k+1}) \right| \leq$$

$$\leq \sum_{k=0}^{N-1} \frac{1}{n!} \underbrace{(x_{k+1} - x_k)^{n+1}}_h \max_{z \in [x_k, x_{k+1}]} |f^{(n)}(z)| \leq$$

$$\leq \max_{z \in [a, b]} |f^{(n)}(z)| = C$$

$$\leq C \cdot \frac{h^{n+1}}{n!} \sum_{k=0}^{N-1} 1 = C \cdot \frac{h^{n+1}}{n!} N = C \cdot \frac{h^n}{n!} (b-a)$$

$$\frac{b-a}{N} = h \Rightarrow N = \frac{b-a}{h}$$



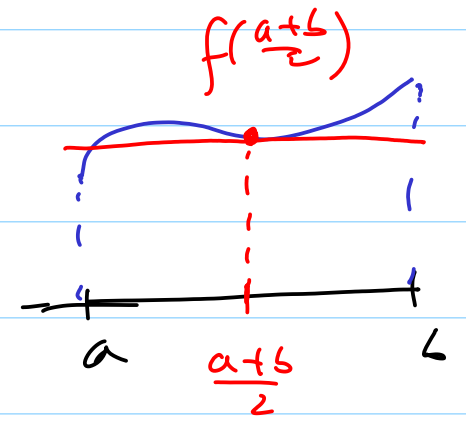
Def Quadraturformel hat Ordnung $n+1$ wenn sie Polynome vom Grad maximal n exakt integriert

das heisst, das erste falsche Ergebnis mit der Quadraturformel passiert x^{n+1}

$$\int_a^b p(x) dx = Q(p, a, b) \text{ f\u00fcr alle Polynome vom Grad } \leq n$$

und es gibt ein Polynom vom Grad $n+1$ so dass

$$\int_a^b \tilde{p}(x) dx \neq Q(\tilde{p}, a, b).$$



Bsp 1) Mittelpunktsregel:

$$Q^M(f, a, b) = (b-a) f\left(\frac{a+b}{2}\right)$$

Bez 1) Polynome von Grad 0 und 1 werden mit Q^M exakt integriert

\Rightarrow MPR hat Quadraturordnung 2

Fehler: $\frac{(b-a)^3}{24} f''(\xi)$ mit $\xi \in [a, b]$

Bez 2) offene Quadraturformel:

Enden $[a, b]$ sind keine Knoten.

knoten $\rho_1 = \frac{a+b}{2}, w_1 = (b-a)$

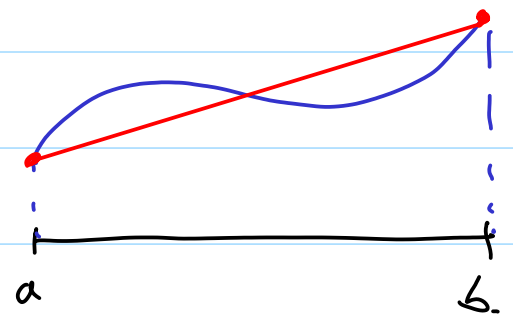
Zusammengesetzte MPR:

$$\int_a^b f(x) dx = \sum_{k=0}^{n-1} \int_{x_k}^{x_{k+1}} f(x) dx \approx \sum_{k=0}^{n-1} (x_{k+1} - x_k) f\left(\frac{x_k + x_{k+1}}{2}\right)$$

$$t_k = \frac{1}{2}(x_k + x_{k+1}) = x_k + \frac{1}{2}h \text{ mit } h = x_{k+1} - x_k = \frac{b-a}{n}$$

$$\int_a^b f(x) dx \approx \sum_{k=0}^{n-1} h f(t_k) = \frac{b-a}{n} \sum_{k=0}^{n-1} f(t_k)$$

Bsp 2) Trapezregel



$$Q^T(f, a, b) = \frac{b-a}{2} f(a) + \frac{b-a}{2} f(b) = \sum_{j=1}^2 w_j f(\rho_j) \text{ mit } \rho_1 = a, \rho_2 = b, w_1 = w_2 = \frac{b-a}{2}$$

Bez 1) Ordnung 2; Fehler $\frac{1}{12} (b-a)^3 f''(z)$ mit $z \in (a,b)$
 2) geschlossene Quadraturformel:
 Enden von (a,b) sind Knoten.

Zusammengesetzte Trapezregel:

$$\int_a^b f(x) dx = \sum_{k=0}^{n-1} \int_{x_k}^{x_{k+1}} f(x) dx \approx \sum_{k=0}^{n-1} \left(\frac{h}{2} f(x_k) + \frac{h}{2} f(x_{k+1}) \right)$$

$$= \frac{h}{2} f(x_0) + \boxed{\frac{h}{2} f(x_1)} + \boxed{\frac{h}{2} f(x_1) + \frac{h}{2} f(x_2)} + \dots + \boxed{\frac{h}{2} f(x_{n-1})} + \frac{h}{2} f(x_n) =$$

$$= \frac{h}{2} f(x_0) + h f(x_1) + h f(x_2) + \dots + h f(x_{n-1}) + \frac{h}{2} f(x_n) =$$

$$= \frac{h}{2} f(x_0) + h \sum_{k=1}^{n-1} f(x_k) + \frac{h}{2} f(x_n).$$

Bsp 3) Simpson Regel

$f \approx$ Polynom von Grad 2 \Rightarrow

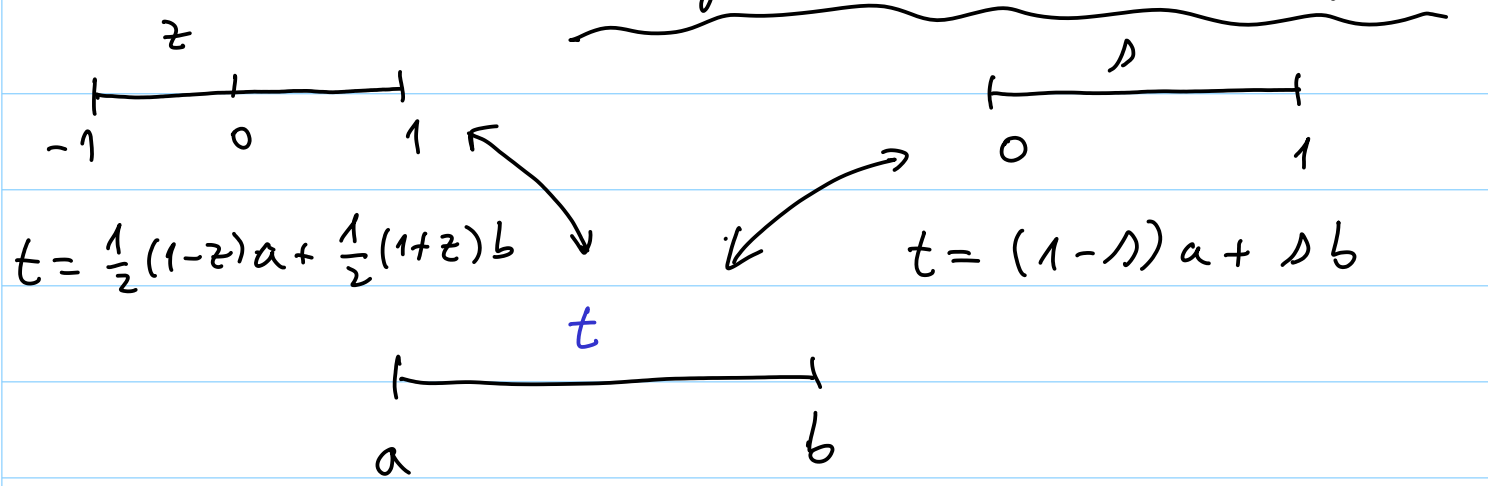
$$Q^S(f, a, b) = \underbrace{\frac{b-a}{6}}_{w_1} f(a) + \underbrace{\frac{b-a}{6} \cdot 4}_{w_2} f\left(\frac{a+b}{2}\right) + \underbrace{\frac{b-a}{6}}_{w_3} f(b)$$

Fehler: $\frac{1}{90} \left(\frac{b-a}{2}\right)^5 f^{(4)}(z)$ mit $z \in (a,b)$

Zusammengesetzte Simpson-Regel \Rightarrow Summen.

Bez Polynome vom Grad 3 werden exakt integriert
 \Rightarrow Quadraturordnung 4.

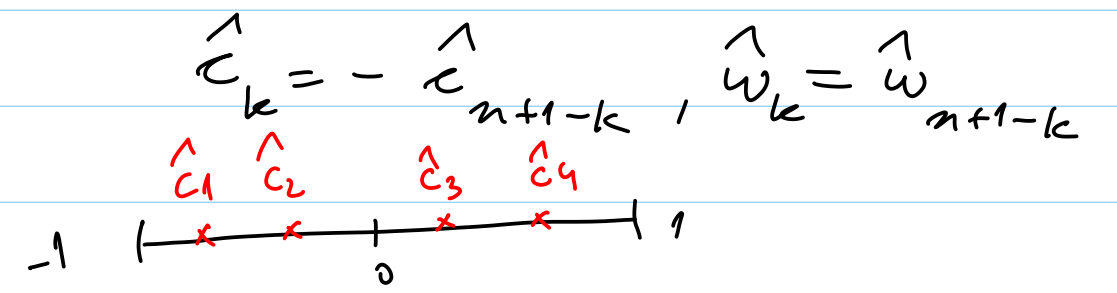
§ 1.2. Referenzintervalle und symmetrische Quadraturformel!



$$\int_a^b f(t) dt = \frac{b-a}{2} \int_{-1}^1 f(z) dz \approx \frac{b-a}{2} \sum_{j=1}^n \hat{\omega}_j f(\hat{c}_j)$$

mit $f(z) = f\left(\frac{1}{2}(1-z)a + \frac{1}{2}(1+z)b\right)$ $[-1, 1]$

Definition QF auf $[-1, 1]$ heißt symmetrisch falls



Theorem

Die Quadraturordnung einer symmetrischen QF ist gerade.

Beweis Annahme: QF ist exakt für Polynome vom Grad $2m-2$

Nehme $f(x) = ax^{2m-1}$

Die QF ist exakt für ax^{2m-1} falls $Q(f, -1, 1) = a \int_{-1}^1 x^{2m-1} dx = 0$

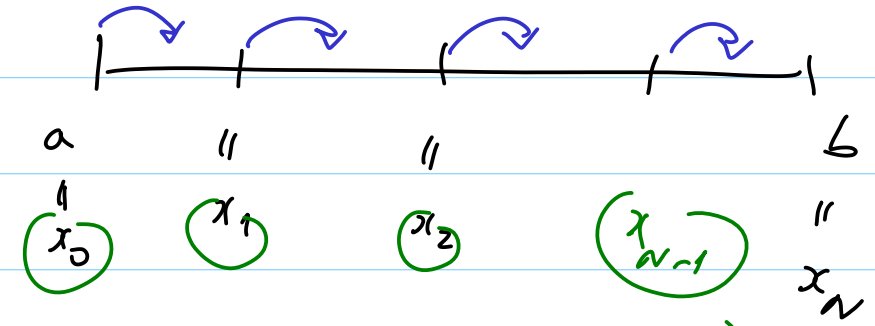
$$Q(f, -1, 1) = a \sum_{k=1}^n \hat{\omega}_k \hat{c}_k^{2m-1} = a \sum_{k=1}^n \hat{\omega}_{n+1-k} (-\hat{c}_{n+1-k})^{2m-1} =$$

$$= -a \sum_{k=1}^n \hat{\omega}_{n+1-k} \hat{c}_{n+1-k}^{2m-1} =$$

$$= -a \sum_{j=1}^n \hat{\omega}_j \hat{c}_j^{2m-1} = -Q(f, -1, 1) \Rightarrow$$

21.02.2020

[a, b]



§1.3. Implementierung in Python

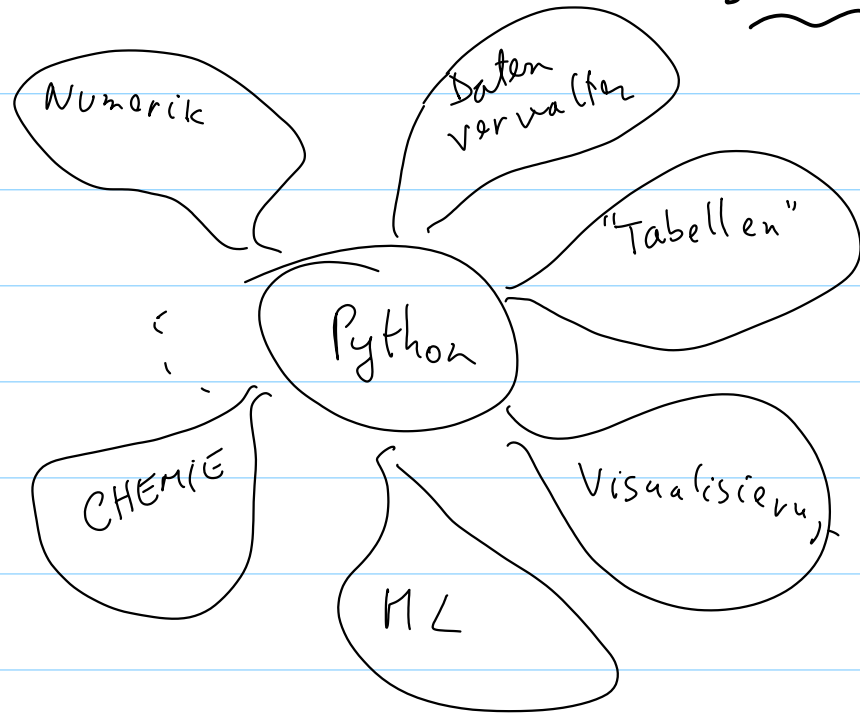
$$x_k = a + kh ; \quad h = \frac{b-a}{N}$$

$$a + h [0, 1, 2, \dots, N-1]$$

$$x = [a, a+h, a+2h, \dots, a+(N-1)h]$$

$$t = \frac{h}{2} + x$$

$$\Rightarrow Q(f, -1, 1) = 0$$



numpy

scipy

matplotlib

sympy

```

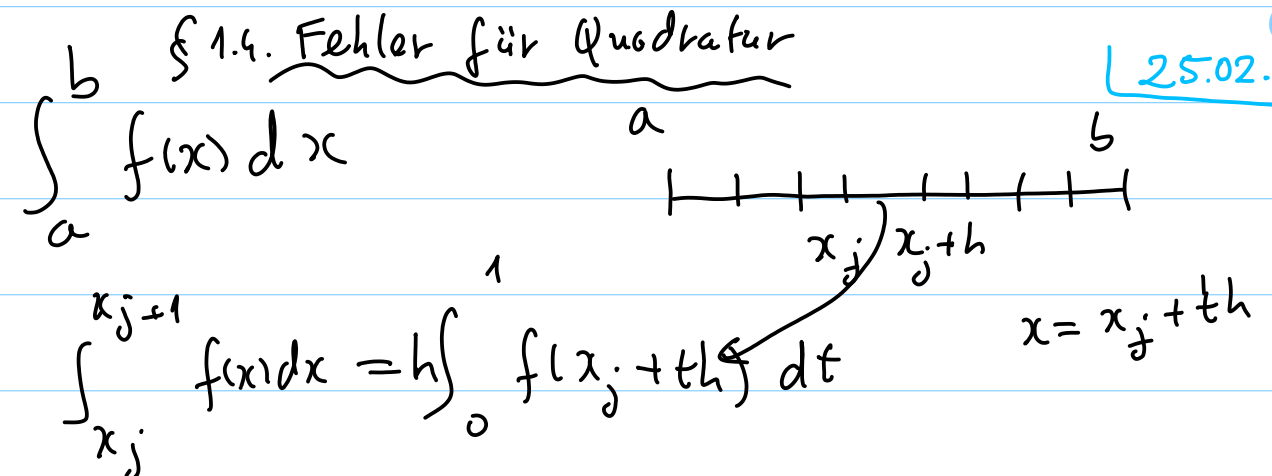
myquad01.py x myquad02.py x myquad03.py x myquad04.py myquad01.py x myquad02.py x myquad03.py x myquad04. myquad01.py x myquad02.py x myquad03.py x myquad04.py x
1 import numpy as np
2 import matplotlib.pyplot as plt
3
4 # function to integrate
5 def myfunc(s, a):
6     res = 1./np.sqrt(1-a*np.sin(s)**2)
7     return res
8
9 # let us plot it
10 x = np.linspace(0,np.pi/2) # points in interval
11 fx = myfunc(x,a=np.pi/6) # evaluate function in points
12
13 plt.plot(x, fx)
14 plt.show()
15

1 import numpy as np
2 import matplotlib.pyplot as plt
3
4
5 def Elam(x, t=1000.,c1 = 3.7413*1E8, c2=1.4388*1E4):
6     res =c1/( x**5*(np.exp(c2/(x*t)) -1) )
7     return res
8
9 x = np.linspace(0,10)
10 Ex = Elam(x)
11 #plt.plot(x,Ex)
12 #plt.show()
13
14 from scipy.integrate import quad
15 t=1000.
16 c1 = 3.7413*1E8
17 c2=1.4388*1E4
18 res, err = quad(Elam,0, 20, args=(t,c1,c2))
19 print(res/t**4, err)
20 res, err = quad(Elam,0, np.infty, args=(t,c1,c2))
21 print(res/t**4, err)
22
23 def mpr(f,a,b,N):
24     '''
25     integrates f from a to b with Midpoint Rule
26     f : function to integrate
27     a : left end
28     b : right end
29     N : number of subintervals
30     '''
31     h = (b-a)/N
32     x = a+ h*np.arange(N)
33     t = h/2 + x
34     res = sum(f(t))*h
35     return(res)
36
37 N = 50
38 print(mpr(Elam,0,20,N)/t**4)
39
40

1 import numpy as np
2 import matplotlib.pyplot as plt
3 from scipy.integrate import quad
4
5 # variable number of arguments
6 def mpr(f,a,b,N, args=()):
7     '''
8     integrates f from a to b with Midpoint Rule
9     f : function to integrate
10    a : left end
11    b : right end
12    N : number of subintervals
13    '''
14    h = (b-a)/N
15    x = a+ h*np.arange(N)
16    t = h/2 + x
17    res = sum(f(t, *args))*h
18    return(res)
19
20 def Elam(x, T=1000.,c1 = 3.7413*1E8, c2=1.4388*1E4):
21     res =c1/( x**5*(np.exp(c2/(x*T)) -1) )
22     return res
23
24 T=1000.
25 c1 = 3.7413*1E8
26 c2=1.4388*1E4
27 res, err, info = quad(Elam,0, 20, args=(T,c1,c2),
28 full_output=True)
29 print(res/T**4, err)
30 print('quad needs '+str(info['neval'])+' functions
31 evaluations')
32 res, err, info = quad(Elam,0, np.infty, args=(T,c1,c2),
33 full_output=True)
34 print(res/T**4, err)
35 print('quad needs '+str(info['neval'])+' functions
36 evaluations')
37
38 N = 50
39 print(mpr(Elam,0,20,N, args=(T,c1,c2))/T**4)
40

```

25.02.2020



Referenzintervall $[0, 1]$: Knoten (c_j) , Gewichte (b_j)

Quadraturformel auf $[0, 1]$ mit Knoten (c_j) , Gewichte (b_j)

$$\sum_{j=1}^n b_j g(c_j) \approx \int_0^1 g(t) dt$$

Fehler $E(g) = \int_0^1 g(t) dt - \sum_{j=1}^n b_j g(c_j)$

Ben Fehler ist linear in g

$$E(Ag + Bf) = AE(g) + BE(f).$$

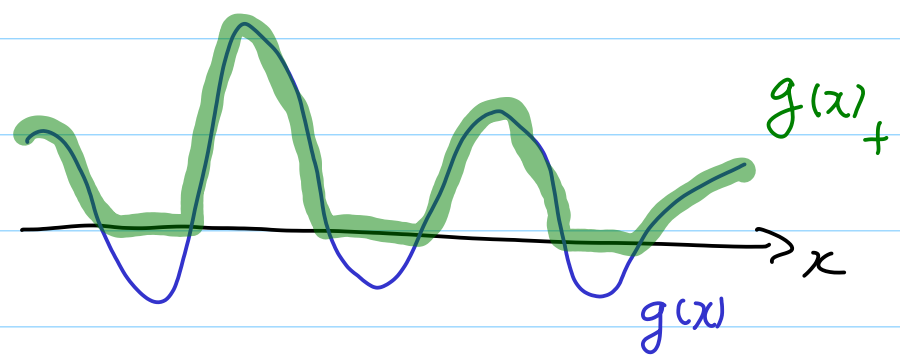
$A, B \in \mathbb{R}$, g, f Funktionen

```

myquad01.py x myquad02.py x myquad03.py x myquad04.py x
1 import numpy as np
2 import matplotlib.pyplot as plt
3 from scipy.integrate import quad
4 # variable named number of arguments
5
6 def mpr(f,a,b,N, **kwargs):
7     ...
8     integrates f from a to b with Midpoint Rule
9     f : function to integrate
10    a : left end
11    b : right end
12    N : number of subintervals
13    ...
14    h = (b-a)/N
15    x = a+ h*np.arange(N)
16    t = h/2 + x
17    res = sum(f(t, **kwargs))*h
18    return(res)
19
20 def Elam(x, T=1000., c1 = 3.7413*1E8, c2=1.4388*1E4):
21     res = c1/( x**5*(np.exp(c2/(x*T)) -1) )
22     return res
23
24 T=1000.
25 c1 = 3.7413*1E8
26 c2=1.4388*1E4
27 res, err, info = quad(Elam,0, 20, args=(T,c1,c2),
28 full_output=True)
29 print(res/T**4, err)
30 print('quad needs '+str(info['neval'])+' functions
31 evaluations')
32 print('quad needs '+str(info['neval'])+' functions
33 evaluations')
34 N = 50
35 print(mpr(Elam,0,20,N,T=1000.,c1 = 3.7413*1E8,
36 c2=1.4388*1E4 )/T**4)
37 #print(mpr(Elam,0,20,N, args=(T,c1,c2))/T**4)
38

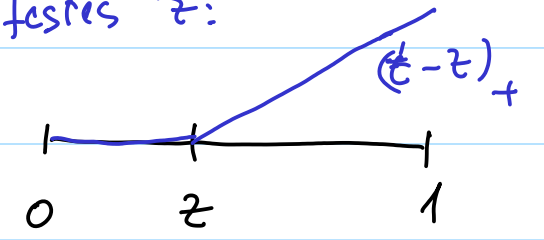
```

das positive Teil $g(x)_+ = \begin{cases} g(x), & \text{fall } g(x) > 0 \\ 0, & \text{sonst} \end{cases}$

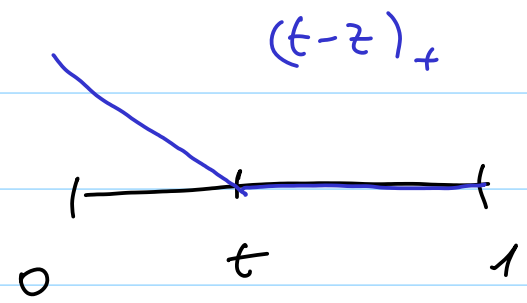


Peano-kern: $\alpha(z, t) = \frac{1}{(n-1)!} (t-z)_+^{n-1}$

für festes z:



für festes t:



als Funktion in der Variable t
↓

$$K_n(z) = E(\alpha(z, \cdot)) = \int_0^1 \frac{1}{(n-1)!} (t-z)_+^{n-1} dt - \sum_{j=1}^n b_j \frac{(c_j-z)_+^{n-1}}{(n-1)!} = \frac{(1-z)^n}{n!} - \sum_{j=1}^n b_j \frac{(c_j-z)_+^{n-1}}{(n-1)!}$$

Theorem

Sei Q eine Quadraturformel mit Quadraturordnung n und sei g n -mal stetig differenzierbar.

Dann

$$E(g) = \int_0^1 K_n(z) g^{(n)}(z) dz.$$

Beweis Taylor um Punkt 0:

$$g(t) = g(0) + \frac{t}{1!} g'(0) + \dots + \frac{t^{n-1}}{(n-1)!} g^{(n-1)}(0) + \int_0^t \frac{(t-z)^{n-1}}{(n-1)!} g^{(n)}(z) dz$$

$\underbrace{\hspace{10em}}$
 $q(t)$ Polynom vom Grad $n-1$

$$\int_0^1 \frac{(t-z)^{n-1}}{(n-1)!} g^{(n)}(z) dz$$

Linearität von E : $E(g) = E(q) + \int_0^1 \underbrace{E(\alpha(z, \cdot))}_{K_n(z)} g^{(n)}(z) dz$

\nearrow
 Da QF hat Ordnung n .

Bemerkung Wenden wir jetzt den Satz auf

$$g(t) = f(x_0 + th) \quad \begin{cases} x = x_0 + th \\ dx = h dt \end{cases}$$

$$\int_{x_0}^{x_0+h} f(x) dx = h \int_0^1 g(t) dt$$

$$\int_{x_0}^{x_0+h} f(x) dx - h \sum_{j=1}^n b_j f(x_0 + c_j h) =$$

$$= h \int_0^1 g(t) dt - h \sum_{j=1}^n b_j g(c_j) =$$

$$= h \left(\int_0^1 g(t) t - \sum_{j=1}^n b_j g(c_j) \right) = h E(g) = h \cdot h^n$$

$$E(g) = \int_0^1 K_n(z) g^{(n)}(z) dz = \int_0^1 K_n(z) f^{(n)}(x_0 + hz) dz$$

$$g(t) = f(x_0 + th) \Rightarrow g'(t) = f'(x_0 + th) h$$

$$g''(t) = f''(x_0 + th) h^2$$

....

$$g^{(n)}(t) = f^{(n)}(x_0 + th) h^n$$

Fehler $\int_{x_0}^{x_0+h} f(x) dx - h \sum_{j=1}^n b_j f(x_0 + c_j \cdot h) =$

$= h \int_0^1 k_n(z) f^{(n)}(x_0 + hz) dz$

Zusammengefasst:

$$|E(f)| = \left| \int_a^b f(x) dx - \sum_{k=0}^{N-1} h \sum_{j=1}^n b_j f(x_k + c_j \cdot h) \right| \leq$$

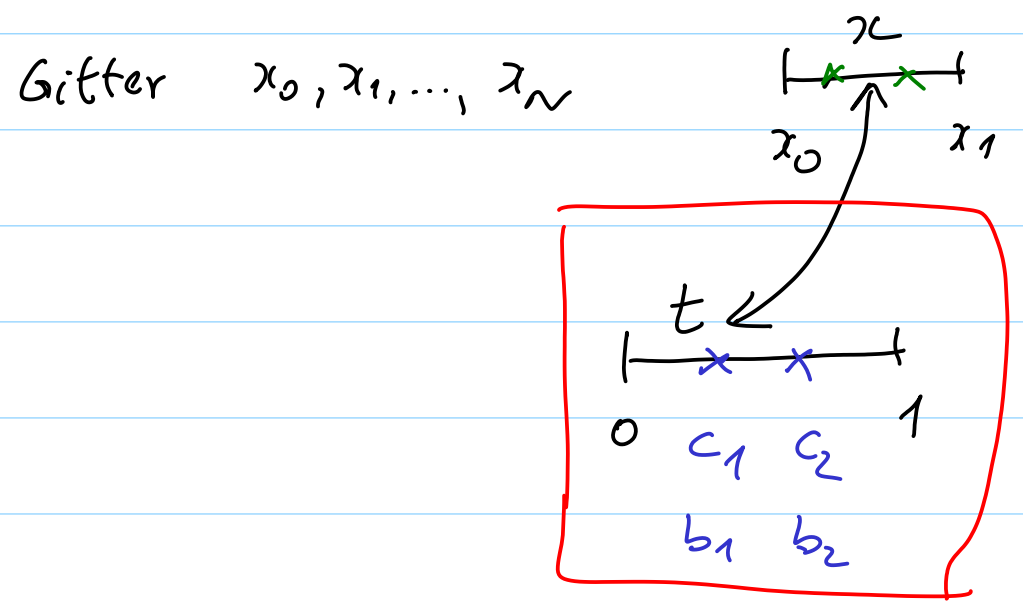
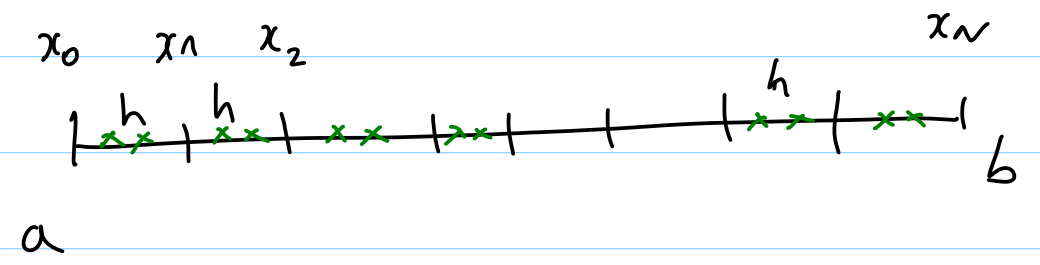
$\leq C \cdot h^n \max_{x \in [a,b]} |f^{(n)}(x)| \rightarrow 0$ für $h \rightarrow 0$

Glätte von f

Quadraturordnung n

kommt aus dem Peano kern. $\int_0^1 k_n(z) dz = \text{konstante}$

MPR, TR = $\frac{1}{12}$ Simpson $\frac{1}{2880}$



Fehler $\leq \sum_{k=0}^{N-1} c \cdot h^n \max_{z \in [a,b]} |f^{(n)}(z)| = C \cdot \max_{[a,b]} |f^{(n)}| \cdot h^n \cdot N =$

$h = \frac{b-a}{N} \Rightarrow N = \frac{b-a}{h}$

$= C \cdot h^n \max_{[a,b]} |f^{(n)}|$

linear in $\log h$.

Fehler $= c h^n \Rightarrow \log \text{Fehler} = n \log h + \log K$

§1.5. Adaptive Quadratur

Ziel: Optimiere die Funktionsauswertungen.



Wie schätzen wir den lokalen Fehler ohne weitere Informationen über f ?

$$\text{Fehler} \sim h^n \max_{z \in (a,b)} |f^{(n)}(z)|$$

↳ falls klein, dann brauchen wir nicht unbedingt ein kleines h .

$$\text{lokale Fehler } \epsilon_k \sim h^{n+1} \max_{x \in [x_k, x_{k+1}]} |f^{(n)}(x)|$$

$$\int_{x_k}^{x_{k+1}} f(x) dx = Q^T(f, x_k, x_{k+1}) + ch^3 \max_{z \in [x_k, x_{k+1}]} |f''(z)|$$

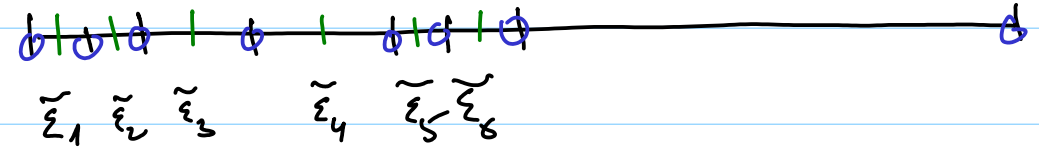
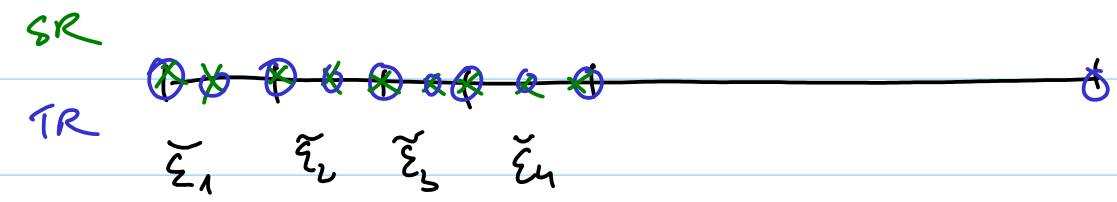
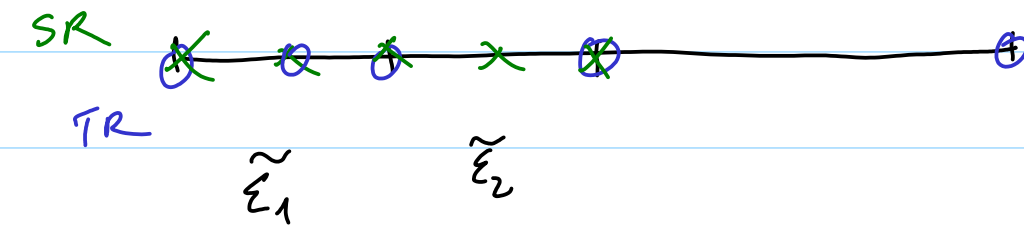
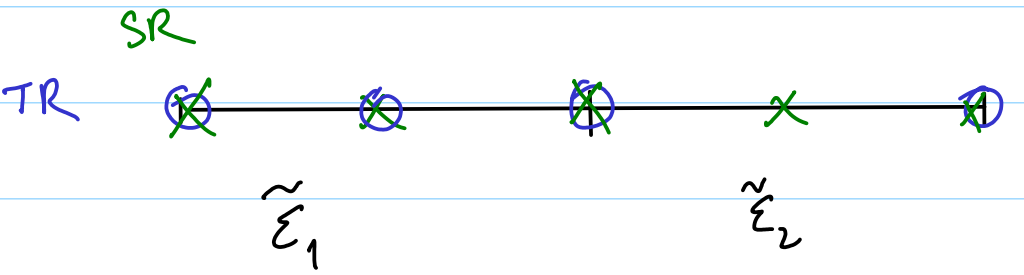
$$\int_{x_k}^{x_{k+1}} f(x) dx = Q^S(f, x_k, x_{k+1}) + ch^5 \max_{z \in [x_k, x_{k+1}]} |f^{(4)}(z)|$$

Idee:

$$\epsilon_k = \left| \int_{x_k}^{x_{k+1}} f(x) dx - Q^T(f, x_k, x_{k+1}) \right| \approx$$

$$\approx \left| Q^S(f, x_k, x_{k+1}) - Q^T(f, x_k, x_{k+1}) \right| \stackrel{\approx}{=} \epsilon_k \quad \text{Schätzung von lokalem Fehler } \epsilon_k$$

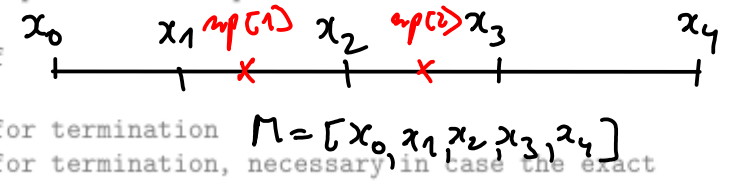
Idee: 1) Verfeinere die Intervalle wo $\tilde{\epsilon}_k$ gross ist.
 2) Verwende das Ergebnis von Ψ^S .



$h_k = x_{k+1} - x_k$
 $\frac{1}{2}(x_k + x_{k+1}) \rightarrow [mp_0, mp_1, mp_2, mp_3]$
 auf $[x_k, x_{k+1}]$
 x_k TR x_{k+1} SR
 array

```
def adaptquad(f,M,rtol,abstol):
    """
    adaptive quadrature using trapezoid and simpson rules
    Arguments:
    f      handle to function f
    M      initial mesh
    rtol   relative tolerance for termination
    abstol absolute tolerance for termination, necessary in case the exact
           integral value = 0, which renders a relative tolerance meaningless.
    """
    h = diff(M) # compute lengths of mesh intervals
    mp = 0.5*(M[:-1]+M[1:]) # compute midpoint positions
    fx = f(M); fm = f(mp) # evaluate function at positions and
                           # midpoints
    trp_loc = h*(fx[:-1]+2*fm+fx[1:])/4 # local trapezoid rule
    simp_loc = h*(fx[:-1]+4*fm+fx[1:])/6 # local simpson rule
    I = sum(simp_loc) # use simpson rule value as
                     # intermediate approximation for integral value
    est_loc = abs(simp_loc - trp_loc) # difference of values obtained from
    # local composite trapezoidal rule and local simpson rule is used as an estimate
    # for the local quadrature error.
    err_tot = sum(est_loc) # estimate for global error (sum
    # moduli of local error contributions)
    # if estimated total error not below relative or absolute threshold, refine
    # mesh
    if err_tot > rtol*abs(I) and err_tot > abstol:
        refcells = nonzero(est_loc > 0.9*sum(est_loc)/size(est_loc))[0]
        I = adaptquad(f,sort(append(M,mp[refcells])),rtol,abstol) # add
        # midpoints of intervalls with large error contributions, recurse.
    return I

if __name__ == '__main__':
    f = lambda x: exp(6*sin(2*pi*x))
    #f = lambda x: 1.0/(1e-4+x*x)
    M = arange(11.)/10 # 0, 0.1, ... 0.9, 1
    rtol = 1e-6; abstol = 1e-10
    I = adaptquad(f,M,rtol,abstol)
    exact,e = integrate.quad(f,M[0],M[-1])
    print('adaptquad:',I, "exact:",exact)
    print('error:',abs(I-exact))
```



$h_0 = x_1 - x_0, h_1 = x_2 - x_1, \dots$

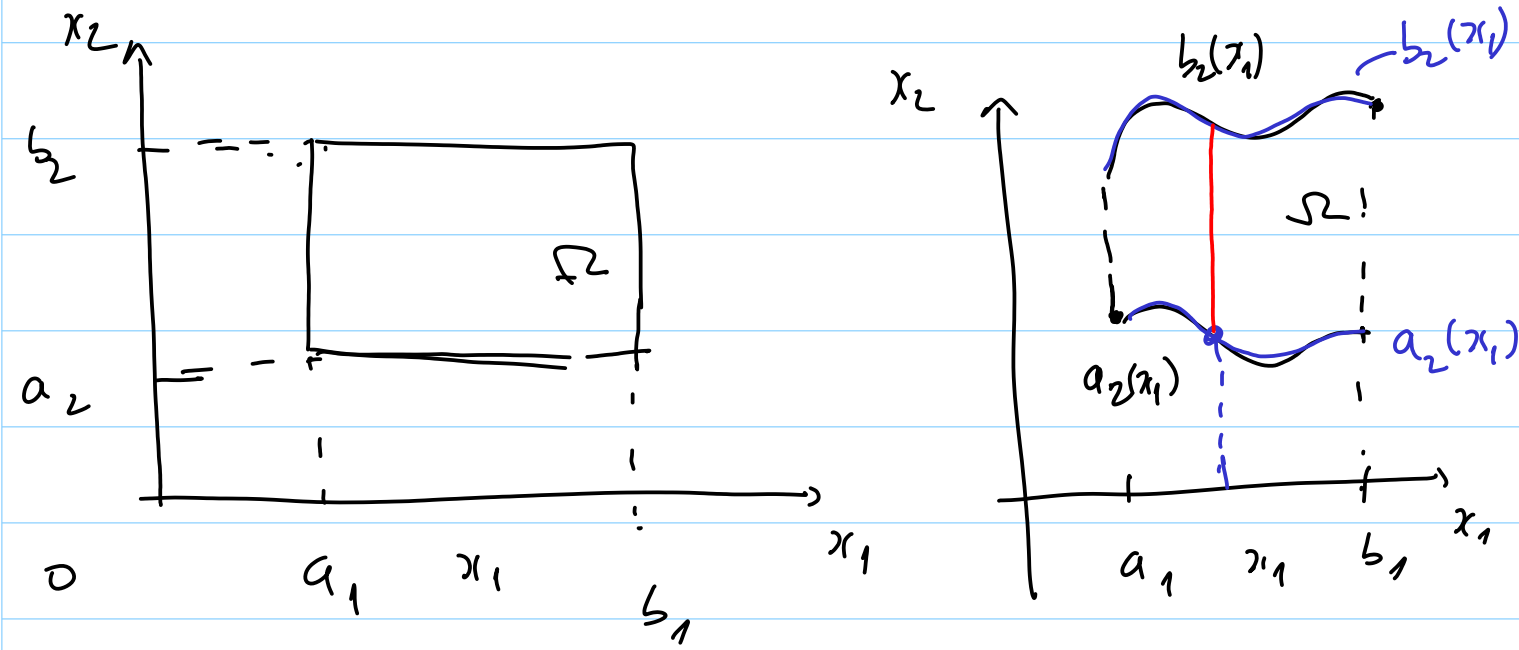
$\frac{tot}{\# \text{Intervalle}} = \text{Mittleren Fehler}$

[False, True, True, False]
 || 0 || 1 || 1 || 0

nonzero => welche Indizes => 1,2

$mp[\text{refcells}] = [mp_1, mp_2]$
 lese help für nonzero um [0] zu verstehen!
 $\Rightarrow \text{Sort}([x_0, x_1, x_2, x_3, x_4, mp_1, mp_2])$
 $\Rightarrow x_0$ | x_1 | mp_1 | x_2 | mp_2 | x_3 | x_4 neues Gitter

§1.6 Quadratur in \mathbb{R}^d , $d=2,3$



$$\approx \underbrace{\frac{b_1 - a_1}{N_1}}_{h_1} \sum_{k_1=1}^{N_1} \sum_{j_1=1}^{D_1} F(x_1^{k_1-1} + h_1 c_{j_1}^1) \cdot b_{j_1}^1$$

knoten in Ox_1 -Richtung
auf Interval $[x_1^{k_1-1}, x_1^{k_1}]$

$$= h_1 \sum_{k_1=1}^{N_1} \sum_{j_1=1}^{D_1} \int_{a_2(x_1^{k_1-1} + h_1 c_{j_1}^1)}^{b_2(x_1^{k_1-1} + h_1 c_{j_1}^1)} f(x_2, x_1^{k_1-1} + h_1 c_{j_1}^1) dx_2 \cdot b_{j_1}^1$$

$$I = \int_{\Omega} f(x_2, x_1) dx_2 dx_1 = \int_{a_1}^{b_1} \int_{a_2(x_1)}^{b_2(x_1)} f(x_2, x_1) dx_2 dx_1 = \int_{a_1}^{b_1} F(x_1) dx_1$$

$$= h_1 \sum_{k_1=1}^{N_1} \sum_{j_1=1}^{D_1} \underbrace{\frac{b_2 - a_2}{N_2}}_{h_2} \sum_{k_2=1}^{N_2} \sum_{j_2=1}^{D_2} f(x_2^{k_2-1} + h_2 c_{j_2}^2, x_1^{k_1-1} + h_1 c_{j_1}^1) \cdot b_{j_2}^2 \cdot b_{j_1}^1$$

$$= \int_{a_1}^{b_1} F(x_1) dx_1 = \sum_{k_1=1}^{N_1} \int_{x_1^{k_1-1}}^{x_1^{k_1}} F(x_1) dx_1 \approx$$

$$= h_1 h_2 \sum_{k_1=1}^{N_1} \sum_{k_2=1}^{N_2} \sum_{j_1=1}^{D_1} \sum_{j_2=1}^{D_2} f(x_2^{k_2-1} + h_2 c_{j_2}^2, x_1^{k_1-1} + h_1 c_{j_1}^1) \cdot b_{j_2}^2 \cdot b_{j_1}^1$$

in d-Dimensionen:

$$h_1 h_2 \dots h_d \sum_{k_1} \sum_{k_2} \dots \sum_{k_d} f(\dots) b_{j_d}^d b_{j_{d-1}}^{d-1} \dots b_{j_1}^1$$

$N_1 \cdot N_2 \dots N_d$ Auswertungen von f

zu teuer! ☹️

28.02.2020

code.

```

1 import numpy as np
2
3 def trapy(f, a, b, N):
4     '''
5     quadrature via trapezoidal rule
6     f: function to integrate
7     a: left end of interval
8     b: right end of interval
9     N: number of intervals
10    '''
11    x, h = np.linspace(a,b,N+1,retstep=True)
12    res = 0.5*h*(f(x[0]) + 2*np.sum(f(x[1:-1])) + f(x[-1]))
13    return(res)
14
15 def simpson(f, a, b, N):
16    '''
17    Simpson quadrature of function f from a to b with N subintervals.
18
19    f: Function f(x)
20    a, b: Bounds of the integration interval
21    N: Number of subintervals
22    '''
23    x, h = np.linspace(a, b, 2*N+1, retstep=True)
24    # quadrature weights:
25    # boundary nodes: w=1/3
26    # internal nodes: w=2/3
27    # midpoint nodes: w=4/3
28    res = h/3.0 * np.sum(f(x[:-2:2]) + 4.0*f(x[1:-1:2]) + f(x[2::2]))
29    return(res)
30
31 def zz(x):
32    a = (1./3.)**0.3
33    #b = (1./2.)**0.3
34    p = 1.
35    y = np.abs(np.cos(10*x) - a)**(p*0.5)
36    #z = abs(x-b)**(p*0.5)
37    return y
38

```

```

38
39 def gg(x):
40     a = 1/np.sqrt(2.)
41     b = 1/np.sqrt(3)
42     res = 0.
43     p = 2.5
44     F = 8.#20.
45     y = (np.abs(np.sin(F*x)-b))**p; y /= p
46
47     res = y
48     #res = 1.0 / (1.0 + (5*res)*1)
49     #if x>0: res += x
50     #else: res += -x
51     return res
52
53 if __name__ == "__main__":
54     from scipy import integrate
55
56     # Define a function and an interval:
57     #f = lambda x: 1.0 / (1.0 + (5*x)**2) # better than expected
58     #f = gg # worse than expected for simpson
59     f = zz # disaster of expectations
60     left = -1.0
61     right = 1.0
62
63     # Exact integration with scipy.integrate.quad:
64     print('-----')
65     print('integrate.quad gives:')
66     rezquad = integrate.quad(f, left, right, limit= 100, full_output=True)
67     #rezquad = integrate.quad(f, left, right, full_output=True)
68     exact = rezquad[0]
69     e = rezquad[1]
70     neval = rezquad[2]['neval']
71     print('with ',neval,' function evaluations')
72     if len(rezquad) == 4: print('WARNING:\n', rezquad[3])
73     print('vaule =',exact, ' estimated error = ', e)
74     print('-----')
75

```

```

76 # Simpson and trapezoidal rules for different number of quadrature points
77 N = np.arange(2, 301)
78 res = np.zeros(np.size(N))
79 res_T = np.zeros(np.size(N))
80 for i, n in enumerate(N):
81     res[i] = simpson(f, left, right, n)
82     res_T[i] = trapy(f, left, right, 2*n)
83
84 err = np.abs(res - exact)
85 err_T = np.abs(res_T - exact)
86
87 #print err
88 # Linear fit to determine convergence order
89 #p = polyfit(log(N[-50:]), log(err[-50:]), 1)
90 p = np.polyfit(np.log(N[20:]), np.log(err[20:]), 1)
91 print("Convergence order Simpson: %f" % -p[0])
92 p = np.polyfit(np.log(N[50:]), np.log(err_T[50:]), 1)
93 print("Convergence order Trapez: %f" % -p[0])
94 print('-----')
95
96 from pylab import loglog, show, plot, figure, legend
97 figure()
98 x = np.linspace(left, right, N[-1])
99 plot(x, f(x))
00 show()
01 figure()
02 loglog(N,err,'x', label='Simpson')
03 loglog(N, err_T,'v', label='Trapez')
04 loglog(N,1./N**2, label='$1/N^2$')
05 loglog(N, 1./N**3, label = '$1/N^3$')
06 loglog(N, 1./N**4, label='$1/N^4$')
07 legend()
08 show()
09

```

Prüfung

Numerische Methoden D-PHYS, WS 2019/2020

1. (8 Punkte) Simpsonregel

Wir wollen die zusammengesetzte Simpsonregel verwenden, um das Integral

$$I = \int_0^1 f_i(x) dx$$

von $f_i(x)$, $i = 1, 2$ auf N Teilintervallen oder mit n Funktionsauswertungen zu berechnen.

Die zwei Funktionen sind durch

$$f_1(x) := \frac{1}{1 + 4x^2} \quad f_2(x) := x^{\frac{1}{3}}.$$

gegeben.

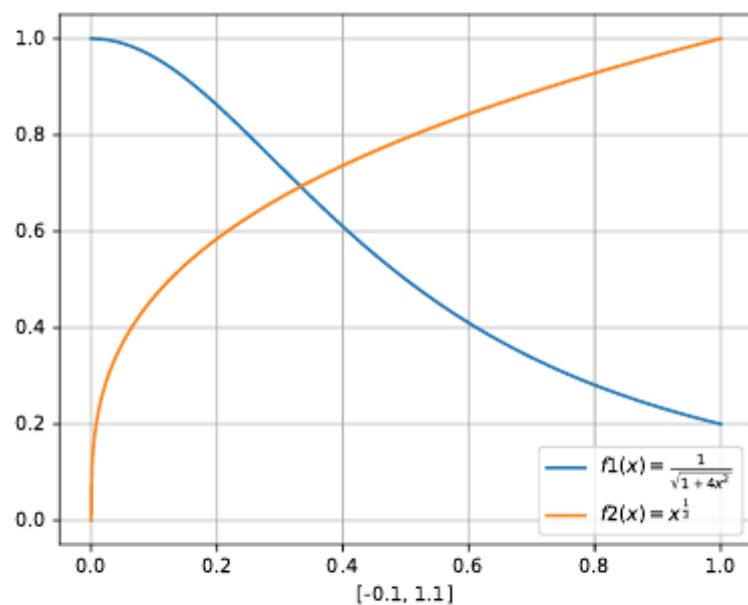


Abbildung 1 – Die Funktionen f_1 und f_2 .

(1)

- a) Im File `quadrature.py` implementieren Sie die Funktion `simpson(f, a, b, N)`. Dabei sollen die integrierende Funktion `f`, die untere und obere Grenzen `a` und `b` und die Anzahl `N` der Teilintervalle in der zusammengesetzten Regel eingegeben werden. Die Funktion soll das Wert `I` ausgeben.
- b) Schreiben Sie die Funktion `quadrature_errr(quadrature_rule, f, exact)`; dabei sollen die Quadraturregel `quadrature_rule`, die integrierende Funktion `f` und das genaue Wert `exact` ihres Integrals eingegeben werden. Die Funktion `quadrature_errr` soll den Fehler `error` und die Anzahl Teilintervalle `n_chunks = 2k` mit $k \in \{3, \dots, 9\}$ ausgeben.
Hinweis: Die Funktion `enumerate` kann nützlich sein.
- c) Welche Konvergenzordnung beobachtet man für jede der zwei Funktionen? Erklären Sie die beobachteten/erwarteten Ergebnisse.

c) Für f_1 beobachten wir $O(h^4)$
(erwarten)
 $h = \frac{1}{N}$

Für f_2 beobachten wir $O(h)$

Wir erwarten/beobachten

für f_1 $O(h^4)$ da f_1 glatt ist
für f_2 weniger da f_2 unglatt ist

```
1 # -*- coding: utf-8 -*-
2 from sympy import *
3 import numpy as np
4 import matplotlib.pyplot as plt
5
6 def f1(x):
7     return 1.0 / (1.0 + 4.0*x**2)
8
9 def f2(x):
10    return (x)**(1./3.)
11
12 def simpson(f, a, b, N):
13    """Approximiert das Integral von `f` mit der Simpsonregel.
14
15    Input:
16        f : Funktion f(x) welche integriert werden soll.
17        a, b : untere/obere Grenze des Integrals.
18        N : Anzahl Teilintervalle in der zusammengesetzten
19            Simpsonregel.
20    """
21    x, h = np.linspace(a, b, 2*N+1, retstep=True)
22    I = h/3.0 * np.sum(f(x[:-2:2]) + 4.0*f(x[1:-1:2]) + f(x[2::2]))
23
24    return I
25
```

```
26 def quadrature_error(quadrature_rule, f, exact):
27    """Berechnet den Fehler und die Konvergenzrate.
28
29    Input:
30        quadrature_rule : Quadraturformel welche verwendet werden soll. Die
31                        Funktion hat die gleiche Signatur wie `simpson` und
32                        `trapezoid`.
33
34                        f : Funktion welche integriert werden soll. In der Aufgabe
35                        heissen sie `f1` und `f2`.
36
37                        exact : Exakte Referenzlösung des Integrals.
38
39    Output:
40        errors : Fehler der Quadraturformel mit `n_chunks` Teilintervallen.
41        n_chunks : Anzahl Teilintervalle.
42    """
43
44    n_chunks = 2**np.arange(3,10)
45    errors = np.empty(n_chunks.shape)
46
47    for i, N in enumerate(n_chunks):
48        approx = quadrature_rule(f, 0., 1., N)
49        errors[i] = np.abs(approx - exact)
50
51    return errors, n_chunks
```

§1.6. Quadratur mit erhöhter Ordnung.

Δ Knoten auf Referenzintervall
 Δ Gewichte

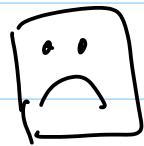
so bestimmt,
dass Polynome höchstes Grades exakt mit dieser QF integriert werden.

Wie hoch kann so eine Quadraturordnung sein?

2 Δ Unbekannte (Knoten, Gewichte);

2 Δ Gleichungen:

$$\left\{ \begin{aligned} \int_0^1 1 dt &= Q_{\Delta}(1, 0, 1) \\ \int_0^1 t dt &= Q_{\Delta}(t, 0, 1) \\ &\dots \left(\frac{1}{3} = b_1 c_1^2 + b_2 c_2^2 + \dots \right) \\ \int_0^1 t^{2\Delta-1} dt &= Q_{\Delta}(t^{2\Delta-1}, 0, 1) \end{aligned} \right.$$



Da QF exakt

Möchte Ordnung $p = \Delta + m$

Jedes Polynom vom Grad $\leq p-1 = \Delta+m-1$ soll mit QF exakt integriert werden.

Sei f Polynom vom Grad $\leq p-1 = \Delta+m-1$

IDEA: teile das Polynom f durch

$$M(x) = (x-c_1)(x-c_2)\dots(x-c_{\Delta})$$

$$\text{Grad}(M) = \Delta$$

$$f(x) = M(x)g(x) + r(x) \text{ mit } \text{Grad}(r) \leq \Delta-1$$

$$\int_0^1 f(t) dt = \int_0^1 M(t)g(t) dt + \int_0^1 r(t) dt$$

da QF exakt

$\rightarrow \parallel$

$$\sum_{j=1}^{\Delta} b_j f(c_j) = \underbrace{\sum_{j=1}^{\Delta} b_j M(c_j) g(c_j)}_{=0} + \sum_{j=1}^{\Delta} b_j r(c_j) \Rightarrow$$

$$\Rightarrow \int_0^1 M(t)g(t)dt = 0 \quad \text{für alle Polynome } g \text{ mit } \text{Grad}(g) \leq m-1.$$

f = Polynom vom Grad $\leq n+m-1$

$$\langle M, g \rangle = \int_0^1 M(t)g(t)dt \quad \text{Skalarprodukt im Raum der Polynome}$$

Theorem

Ordnung der QF ist $n+m$ \Leftrightarrow
 $\langle M, g \rangle = 0$ für alle Polynome vom Grad $\leq m-1$.

$$P_m = \text{span} \{1, t, t^2, \dots, t^{m-1}\} : M \perp P_m$$

Theorem Ordnung einer QF ist höchstens $2n$.

Beweis Annahme: $p \geq 2n+1 \Rightarrow$

$$\left. \int_0^1 M(t)g(t)dt = 0 \quad \text{für alle Polynome vom Grad } \leq n+1 \right\} \Rightarrow$$

nehme $g = M$

$$\Rightarrow \int_0^1 M(t)M(t)dt = 0 \Leftrightarrow \int_0^1 M(t)^2 dt = 0 \Rightarrow$$

$$M(t) \equiv 0$$

Widerspruch \Rightarrow Wahr: $p \leq 2n$.

Orthogonale Polynome

$w:]a, b[\rightarrow \mathbb{R}$ Gewichtsfunktion
 stetig, $w(x) > 0$ für alle $x \in]a, b[$

$$\int_a^b |x|^k w(x) dx < \infty \quad \text{für } k=0, 1, 2, \dots$$

Betrachte den linearen Raum:

$$V = \left\{ f:]a, b[\rightarrow \mathbb{R}, \text{stetig}, \int_a^b |f(x)|^2 w(x) dx < \infty \right\}$$

Bem Alle Polynome liegen in V
 V : Skalarprodukt
 $\langle f, g \rangle = \int_a^b f(x)g(x)w(x)dx$

Bem c_1, c_2, \dots, c_n die Nullstellen von (M) von P_n .
 $M = P_n$

Theorem [Gram-Schmidt in LA]

Es existiert eine eindeutige Folge von Polynomen p_0, p_1, \dots mit

Gram-Schmidt \Rightarrow orthogonale Polynome

$p_k(x) = x^k + \text{Polynom von Grad} \leq k-1$

Legendre Polynome

QF: Gauss-Quadratur

so dass

$p_k \perp \text{span} \{p_0, p_1, \dots, p_{k-1}\}$

z)

$]a, b[=]-\infty, \infty[$, $w(x) = e^{-x^2} \Rightarrow$ Hermite Polynome.
 QF \Rightarrow Hermite-Quadratur.

Diese Polynome baut man so: (3-Term Rekursion)

Bsp Gauss-Quadratur

$p_{k+1}(x) = (x - \beta_{k+1}) p_k(x) - \gamma_{k+1}^2 p_{k-1}(x)$

$[0, 1]$ Notiere Knoten $\xi_j, j=1, \dots, n$

mit $p_0(x) = 1, p_{-1}(x) = 0$ und

$[-1, 1]$ Notiere Knoten $c_j, j=1, \dots, n$.

$\beta_{k+1} = \frac{\langle x p_k, p_k \rangle}{\langle p_k, p_k \rangle}$, $\gamma_{k+1}^2 = \frac{\langle p_k, p_k \rangle}{\langle p_{k-1}, p_{k-1} \rangle}$

Bem: oft werden sie aber zu $p_k(1) = 1$ "normiert". Darum $p_2(x) = \frac{3}{2}(x^2 - \frac{1}{3})$

Beweis des Theorems [Gram-Schmidt-Orthogonalisierung]

Mathematische Induktion:

Annahme: p_0, p_1, \dots, p_k bereits bekannt

Ziel: konstruiere: p_{k+1}

$$\text{Nehme } p_{k+1} = x p_k + \sum_{j=0}^k \alpha_j p_j$$

und berechne α_j , so dass $p_{k+1} \perp p_j$ für $j=0, \dots, k$.

$$p_{k+1} \perp p_k \Leftrightarrow 0 = \langle p_{k+1}, p_k \rangle = \langle x p_k, p_k \rangle + \sum_{j=0}^{k-1} \alpha_j \langle p_j, p_k \rangle + \alpha_k \langle p_k, p_k \rangle$$

$\downarrow \leftarrow$ Induktionsannahme
 0

$$\Leftrightarrow \alpha_k = - \frac{\langle x p_k, p_k \rangle}{\langle p_k, p_k \rangle} = -\beta_{k+1}$$

$$p_{k+1} \perp p_{k-1} \Leftrightarrow 0 = \langle x p_k, p_{k-1} \rangle + \alpha_{k-1} \langle p_{k-1}, p_{k-1} \rangle + 0$$

$$\text{aber } \langle x p_k, p_{k-1} \rangle = \int_{-1}^1 x p_k(x) p_{k-1}(x) dx = \langle p_k, x p_{k-1} \rangle$$

Schreibe $x p_{k-1} = p_k + q$ mit $\text{Grad } q \leq k-1 \Rightarrow$

$$\Rightarrow \langle x p_k, p_{k-1} \rangle = \langle p_k, p_k \rangle + \langle p_k, q \rangle$$

\parallel \leftarrow

$$\text{Somit } p_{k+1} \perp p_{k-1} \Leftrightarrow \alpha_{k-1} = - \frac{\langle p_k, p_k \rangle}{\langle p_{k-1}, p_{k-1} \rangle} = -\gamma_{k+1}^2$$

Für $j \leq k-2$:

$$p_{k+1} \perp p_j \Leftrightarrow 0 = \langle p_{k+1}, p_j \rangle = \langle x p_k, p_j \rangle + \alpha_j \langle p_j, p_j \rangle = \langle p_k, x p_j \rangle + \alpha_j \langle p_j, p_j \rangle \Rightarrow$$

$\underbrace{\hspace{10em}}_{\text{Grad } j+1 \leq k \Rightarrow \perp}$
 \parallel
 0

$$\Rightarrow \alpha_j = 0.$$

1) $n=1$ auf $[0,1] \Rightarrow p_1(x) = x - \frac{1}{2} \Rightarrow \gamma_1 = \frac{1}{2}, b_1 = 1$
auf $[-1,1] \Rightarrow p_1(x) = x \Rightarrow c_1 = 0, b_1 = 1$

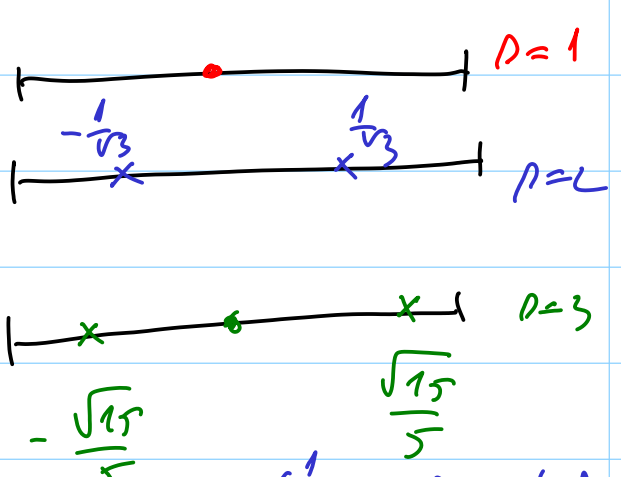
↳ Gauss-Quadratur mit $n=1$ Knoten \equiv MPR.
Ordnung $2n = 2 \cdot 1 = 2$.

2) $n=2$ auf $[-1,1]$: $p_2(x) = x^2 - \frac{1}{3} \Rightarrow \frac{3}{2} \left(x^2 - \frac{1}{3} \right)$
 $\gamma_{1,2} = \pm \frac{1}{\sqrt{3}}, c_1 = \frac{1}{2} - \frac{\sqrt{2}}{6}, c_2 = \frac{1}{2} + \frac{\sqrt{2}}{6}$.

Ordnung $2n = 2 \cdot 2 = 4$ zu $p_3(1) = 1$ "normiert"

3) $n=3$ auf $[-1,1]$: $p_3(x) = \frac{5}{2} x^3 - \frac{3}{2} x$

$\gamma_2 = 0, \gamma_{1,3} = \pm \frac{\sqrt{15}}{5}$
 $b_2 = \frac{8}{18}, b_1 = b_3 = \frac{5}{18}$



Ordnung $2n = 2 \cdot 3 = 6$

Bez Gewichte der Gauss-QF sind positiv

Def Lagrange Polynome zu Stützstellen x_0, x_1, \dots, x_n

für $i = 0, 1, 2, \dots, n$

$$l_i(x) = \prod_{\substack{j=0 \\ j \neq i}}^n \frac{x - x_j}{x_i - x_j}$$

Bsp x_0, x_1, x_2 :

$$l_0(x) = \frac{x - x_1}{x_0 - x_1} \cdot \frac{x - x_2}{x_0 - x_2}$$

$$l_1(x) = \frac{x - x_0}{x_1 - x_0} \cdot \frac{x - x_2}{x_1 - x_2}$$

$$l_2(x) = \frac{x - x_0}{x_2 - x_0} \cdot \frac{x - x_1}{x_2 - x_1}$$

Ben: Gewichte wurden hier "Hand" berechnet via $b_i = \int_0^1 l_i(t)^2 dt$ (l_i = Lagrange Polynom)

Ben 1) $l_i(x_j) = 0$ für alle $i \neq j$

2) $l_i(x_i) = 1$

3) $\text{Grad } l_i = n$

4) $\sum_{i=0}^n l_i(x) = 1$ für alle $x \in \mathbb{R}$.

5) $\sum_{i=0}^n l_i^{(m)}(x) = 0$ für $m \geq 1$.

6) l_0, l_1, \dots, l_n bilden eine Basis im Raum der Polynome vom Grad $\leq n$

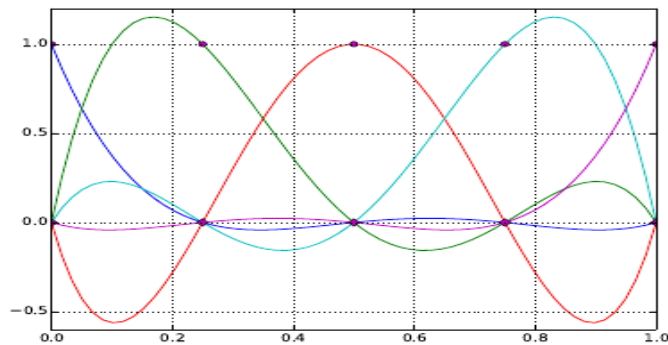


Abb. 8.3.2. Die 5 Lagrange Polynome zu Knoten $0, \frac{1}{4}, \frac{1}{2}, \frac{3}{4}, 1$.

Seite 289 im Skript

Theorem Die Gewichte der Gauss QF sind positiv.

Beweis Verwende die Lagrange-Polynome zu den Stützstellen. $c_1, c_2, \dots, c_p =$ Knoten der QF

$\text{Grad } l_i = p-1$ für $i=1, 2, \dots, p$ } exakt

$\int_0^1 f(t) dt \approx \sum_{i=1}^p b_i f(c_i)$ } =>

$f(t) = l_i(t)^2$ Polynom vom Grad $2(p-1)$

$0 < \int_0^1 l_i(t)^2 dt = \sum_{j=1}^p b_j l_i(c_j)^2 = b_i \cdot 1$

\parallel
0 für $j \neq i$
1 für $j = i$

Im Prinzip $b_i = \int_0^1 l_i(t)^2 dt$ könnte man verwenden um Gewichte zu rechnen


```

1 from numpy import arange, diag, sqrt
2 from numpy.linalg import eigh
3
4 def gaussquad(n):
5     r"""
6         Compute nodes and weights for Gauss-Legendre quadrature.
7
8         n: Number of node-weight pairs
9         """
10
11     i = arange(n) #i = array([0,1,...,n-1])
12     b = (i+1) / sqrt(4*(i+1)**2 - 1)
13     # now we generate the matrix; it is symmetric
14     J = diag(b, -1) + diag(b, 1)
15     # in order to find the eigenvalues we can use eigh since J is symmetric
16     x, ev = eigh(J)
17     # finally, we apply the formula for the weights
18     w = 2 * ev[0,:]**2
19     return x, w

```

auf $[-1,1]$

```

1 from sympy import *
2
3 x = Symbol("x")
4 n = Symbol("n", positive=True)
5 # First we generate two streams of symbols corresponding to knots and weights
6 xigen = numbered_symbols(prefix="xi", start=1)
7 omegagen = numbered_symbols(prefix="omega", start=1)
8 # Now we specify how many parameters we need. In this case, two knots and two
9 weights. Therefore we set N = 2
10 N = 2 # Choose <= 3
11 xis = [ next(xigen) for i in range(N) ]
12 wis = [ next(omegagen) for i in range(N) ]
13 # Using sympy one can perform simple symbolic integrations, which deliver the
14 exact result.
15 # In order to do this we use the function "integrate"
16 # For every n in the interval [0, 2*N-1] we set the condition that the result of
17 the numerical integration
18 #be equal to the analytical value
19 eqns = [ integrate(x**n, (x, -1, 1)) - (sum([wi*xi**n for xi,wi in
20 zip(xis,wis)])) for n in range(2*N)]
21 pprint(eqns)
22 # Therefore we get a system of equations which we need to solve:
23 #we set eqns = 0 and find the corresponding knots and weights
24 sols = solve(eqns, numerical=True)
25 pprint(sols)

```

Berechnung der Gewichte für Gauss-Quadratur auf $[-1, 1]$

$$\langle P_i, P_k \rangle = \int_{-1}^1 \underbrace{P_i(x) P_k(x)}_{\text{Grad} \leq 2n-2} dx = \sum_{j=1}^n P_i(t_j) P_k(t_j) w_j$$

||
 0, $i \neq k$
 1, $i = k$

Konstruktion: Gram-Schmidt

QF exakt bis Grad $2n-1$.

$$\underline{f}(x) = \begin{bmatrix} P_0(x) \\ P_1(x) \\ \vdots \\ P_{n-1}(x) \end{bmatrix} \quad \text{in } t_1, \dots, t_n \text{ ausgewertet}$$

Notiere

$$\underline{M} = \begin{bmatrix} \underline{f}(t_1) & \underline{f}(t_2) & \dots & \underline{f}(t_n) \end{bmatrix} \implies$$

$$\underline{I} = \underline{M} \text{diag}(w_1, \dots, w_n) \underline{M}^T \implies$$

$\implies \underline{M}$ invertierbar

$$\underline{M}^{-1} \mid \underline{M}^T$$

$$\text{diag}(w_1, \dots, w_n) = (\underline{M}^T \underline{M})^{-1} \implies$$

$$\text{diag}(w_1, \dots, w_n)^{-1} = \underline{M}^T \underline{M} \implies$$

$$\frac{1}{w_j} = \underline{f}(t_j)^T \underline{f}(t_j) = \|\underline{f}(t_j)\|^2 = \sum_{k=0}^{n-1} P_k(t_j)^2$$

oder $w_j = \frac{1}{\|\underline{f}(t_j)\|^2}$

ABER Die Eigenvektoren sind nicht eindeutig. ausserdem liefert eig normierte EV.

Sei \underline{v}^j ein Eigenvektor \implies es gibt c Konstante so dass

$$\underline{v}^j = c \underline{f}(t_j) = c \begin{bmatrix} p_0(t_j) \\ \vdots \\ p_{n-1}(t_j) \end{bmatrix}$$

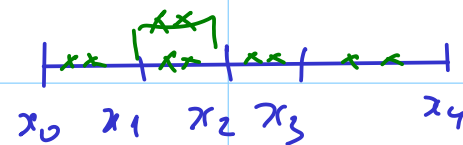
$$1 = \langle p_0, p_0 \rangle = \int_{-1}^1 p_0(t_1) p_0(t_1) dx \Rightarrow p_0(t_1) = \frac{1}{\sqrt{2}}$$

$$(\underline{v}^j)_1 = c \cdot p_0(t_1) = c \cdot \frac{1}{\sqrt{2}} \Rightarrow c = \sqrt{2} (\underline{v}^j)_1$$

$$\underline{f}(t_j) = \frac{1}{c} \underline{v}^j = \frac{1}{\sqrt{2} (\underline{v}^j)_1} \underline{v}^j \Rightarrow$$

$$\omega_j^{-1} = \|\underline{f}(t_j)\|^2 = \frac{1}{2} \frac{\|\underline{v}^j\|^2}{(\underline{v}^j)_1^2} \Rightarrow$$

$$\omega_j = \frac{2 (\underline{v}^j)_1^2}{\|\underline{v}^j\|^2}; \text{ eig liefert normiertes } v \Rightarrow \Rightarrow \omega_j = 2 (\underline{v}^j)_1^2$$



Ben 1) Gauss-Knoten sind nicht verschachtelt
 \Rightarrow Teuer bei Adaptivität,...

2) Endpunkte sind keine Knoten \Rightarrow
 Gauss-QF ist offen.

3) Manchmal braucht man ein oder beide
 Endpunkte des Integrationsintervalls als
 Knoten \Rightarrow

1 Knoten fest \Rightarrow max Ordnung $2n-1$ (Radau)
 2 Knoten fest \Rightarrow max Ordnung $2n-2$ (Lobatto)

4) Fehler bei Gauss-Quadratur:

$$\int_a^b f(x) dx - \underbrace{\sum_{j=1}^n b_j f(c_j)}_{G_n(f, a, b)} = \frac{f^{(2n)}(\xi)}{(2n)!} \text{ mit } a < \xi < b$$

Kombiniert:

$$\left| \int_a^b f(x) dx - \sum_{k=1}^n G_n(f, x_{k-1}, x_k) \right| \leq c \cdot h^{(2n)} \max_{\xi \in [a, b]} |f^{(2n)}(\xi)|$$

Zusammenfassung

$$\int_a^b f(x) dx \approx \sum_{j=1}^n b_j f(c_j)$$

Def Quadraturformel hat Ordnung n

wenn sie Polynome vom Grad maximal $n-1$ exakt integriert

$$|E(f)| = \left| \int_a^b f(x) dx - \sum_{k=0}^{n-1} h \sum_{j=1}^n b_j f(x_k + c_j h) \right| \leq$$

$$\leq C \cdot h^n \text{ muss } |f^{(n)}(x)| \rightarrow 0 \text{ für } h \rightarrow 0$$

$x \in (a, b)$ Glattheit von f

Quadraturordnung n

Kommt aus dem Peano Kern. $\int_0^1 k_n(z) dz = \text{konstante}$

Gegeben Knoten x_0, x_1, \dots, x_n
kann man $\alpha_0, \alpha_1, \dots, \alpha_n$ berechnen, so dass

$$p_n(x) = \alpha_0 + \alpha_1 x + \dots + \alpha_n x^n \text{ erfüllt}$$

$$p_n(x_j) = f(x_j) \text{ für } j=0, 1, 2, \dots, n.$$

Im Prinzip ist das das LGS.

$$\begin{bmatrix} 1 & x_0 & \dots & x_0^n \\ 1 & x_1 & \dots & x_1^n \\ 1 & x_2 & \dots & x_2^n \\ \vdots & \vdots & \dots & \vdots \\ 1 & x_n & \dots & x_n^n \end{bmatrix} \begin{bmatrix} \alpha_0 \\ \alpha_1 \\ \alpha_2 \\ \vdots \\ \alpha_n \end{bmatrix} = \begin{bmatrix} f(x_0) \\ f(x_1) \\ \vdots \\ f(x_n) \end{bmatrix}$$



Somit $f(x) \approx p(x)$ und dann

$$\int_a^b f(x) dx \approx \int_a^b p(x) dx = \text{exakt}$$

\Rightarrow das liefert letztendlich Gewichte w_0, \dots, w_n .

Für äquidistante Knoten $\Rightarrow \Delta$ Gewichte,
die wir aus dem System finden können.

$$f(x) := p_k(x) = x^k \Rightarrow \int_{-1}^1 p_k(x) dx =$$

$$= \int_{-1}^1 x^k dx = \frac{1}{k+1} x^{k+1} \Big|_{-1}^1 = \frac{1 - (-1)^{k+1}}{k+1}$$

$$\left\{ \begin{array}{l} \sum_{j=1}^{\Delta} b_j c_j^k = \frac{1 - (-1)^{k+1}}{k+1} \end{array} \right.$$

LGS mit Unbekannten b_1, \dots, b_{Δ} .

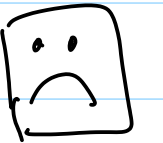
\rightarrow MPR, TR, SR.

Δ Knoten auf Referenzintervall] so bestimmt,
 Δ Gewichte
dass Polynome höchstes Grades exakt mit
dieser QF integriert werden.

Wie hoch kann so eine Quadraturordnung sein?
 2Δ Unbekannte (Knoten, Gewichte);

2Δ Gleichungen:

$$\left\{ \begin{array}{l} \int_0^1 1 dt = Q_{\Delta}(1, 0, 1) \\ \int_0^1 t dt = Q_{\Delta}(t, 0, 1) \\ \dots \left(\frac{1}{3} = b_1 c_1^2 + b_2 c_2^2 + \dots \right) \\ \int_0^1 t^{2\Delta-1} dt = Q_{\Delta}(t^{2\Delta-1}, 0, 1) \end{array} \right.$$



1) $n=1$ auf $[0,1] \Rightarrow p_1(x) = x - \frac{1}{2} \Rightarrow \tau_1 = \frac{1}{2}, b_1 = 1$
 auf $[-1,1] \Rightarrow p_1(x) = x \Rightarrow \tau_1 = 0, b_1 = 1$

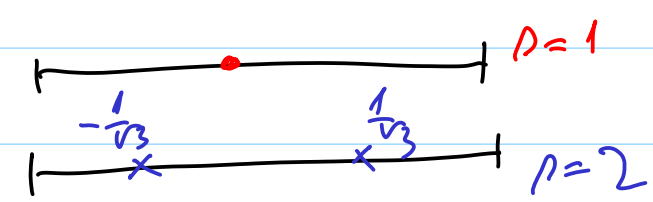
↳ Gauss-Quadratur mit $n=1$ Knoten \equiv MPR.
 Ordnung $2n = 2 \cdot 1 = 2$.

2) $n=2$ auf $[-1,1]$: $p_2(x) = x^2 - \frac{1}{3} \Rightarrow \frac{3}{2} \left(x^2 - \frac{1}{3} \right)$
 $\tau_{1,2} = \pm \frac{1}{\sqrt{3}}, c_1 = \frac{1}{2} - \frac{\sqrt{2}}{6}, c_2 = \frac{1}{2} + \frac{\sqrt{2}}{6}$.

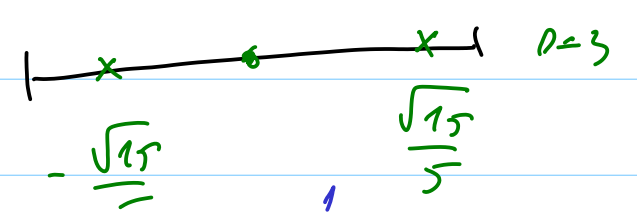
Ordnung $2n = 2 \cdot 2 = 4$ ↗ $z_n p_n(1) = 1$ "normiert"

3) $n=3$ auf $[-1,1]$: $p_3(x) = \frac{5}{2} x^3 - \frac{3}{2} x$

$\tau_2 = 0, \tau_{1,3} = \pm \frac{\sqrt{15}}{5}$
 $b_2 = \frac{8}{18}, b_1 = b_3 = \frac{5}{18}$



Ordnung $2n = 2 \cdot 3 = 6$



1) Gauss QF sind die QF mit maximal möglicher Ordnung.
 n Knoten $\Rightarrow 2n$ Ordnung.
 n Gewichte

2) Falls 1 Knoten fest
 z.B. ein Ende des Intervalls
 \Rightarrow max Ordnung $2n-1$ (Radau)

Falls 2 Knoten fest
 z.B. beide Enden des Intervalls
 \Rightarrow max Ordnung $2n-2$ (Lobatto)

3) Gauss-Formeln sind offen

4) Gauss-Knoten sind nicht verschoben
 \Rightarrow teuer bei Adaptivität

4) Fehler wie vorher.

für ein Intervall:

$$\int_a^b f(x) dx - \sum_{j=1}^n b_j f(c_j) = \frac{f^{(2n)}(\xi)}{(2n)!} (b-a)$$

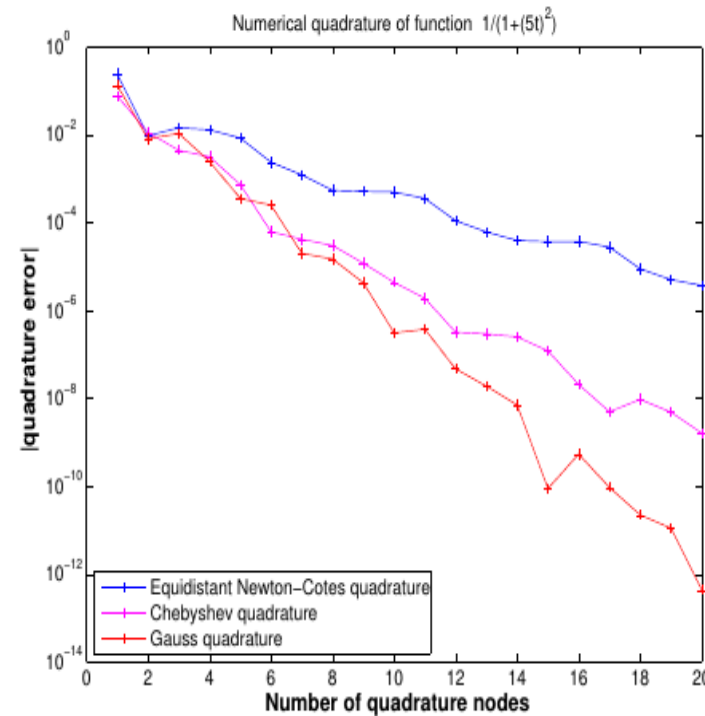
$G_n(f, a, b)$ mit $a < \xi < b$.

Zusammen gesetzt:

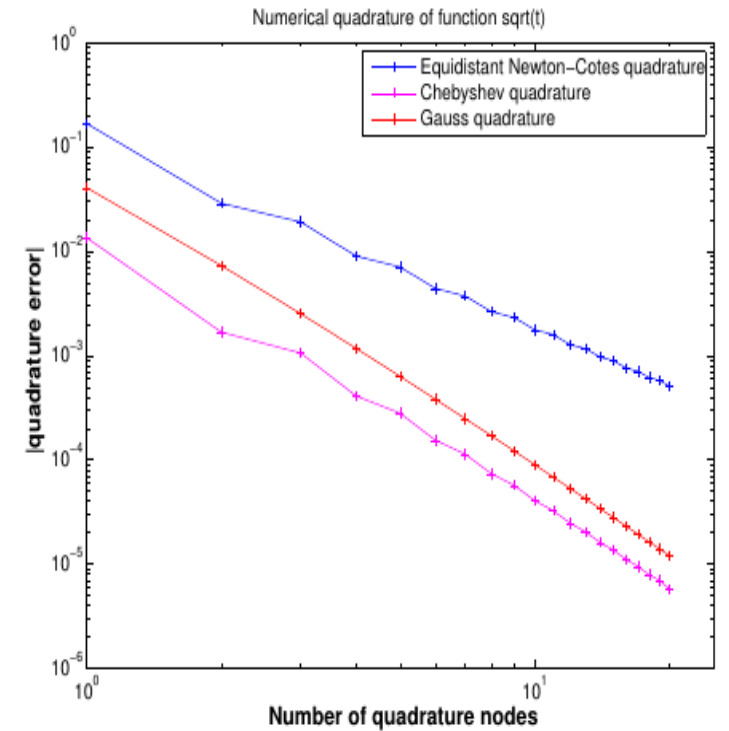
$$\left| \int_a^b f(x) dx - \sum_{k=1}^N G_n(f, x_{k-1}, x_k) \right| \leq$$

$$\leq C \cdot h^{(2n)} \max_{\xi \in [a, b]} |f^{(2n)}(\xi)|$$

Gauss - QF können sich eventuell aber nur wenn f sehr glatt.



Fehler für $f_1(t) := \frac{1}{1+(5t)^2}$ auf $[0, 1]$



Fehler für $f_2(t) := \sqrt{t}$ auf $[0, 1]$

2. (8 Punkte) Lobatto-Quadratur

Lobatto-Quadraturformeln besitzen die maximale Ordnung unter jenen Quadraturformeln, die die Intervallendpunkte als Knoten haben:

$(b_i, c_i)_{i=1}^s$ mit $c_1 = 0, c_s = 1$ der Ordnung $2s - 2$.

- a) Geben Sie die Lobatto-Quadraturformeln der Ordnungen 2 und 4 an ($s = 2$ und $s = 3$).
- b) Berechnen Sie die Knoten und Gewichte der Lobatto-Quadraturformel der Ordnung 6 ($s = 4$).

Hint: : Die Berechnung vereinfacht sich, wenn Sie verwenden, dass die gesuchte Quadraturformel symmetrisch ist.

a) $s=2 \Rightarrow$ Ordnung $2 \cdot 2 - 2 = 2$

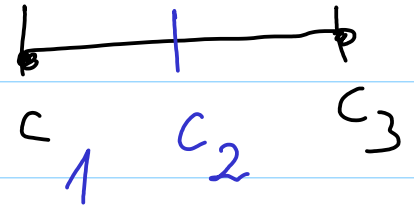


2 Knoten $c_0=0, c_1=1$ 

\Rightarrow Trapezregel. $b_1 = b_2 = \frac{1}{2}$

$s=3 \Rightarrow$ Ordnung $2 \cdot 3 - 2 = 4$

$c_1=0, c_3=1$



Simpson: $c_2 = \frac{1}{2}$

b) $n=4$ Knoten \Rightarrow Ordnung $2 \cdot 4 - 2 = 6$

QF symmetrisch in $[0, 1]$:

$\left. \begin{aligned} c_1=0, c_4=1, c_3=1-c_2 \\ b_1=b_4, b_2=b_3 \end{aligned} \right\} \Rightarrow$

3 Unbekannte: b_1, b_2, c_2

QF hat Ordnung 6 \Rightarrow alle Polynome bis Grad 5 werden exakt integriert mit der QF.

Polynom von Grad 0

$$b_1 + b_2 + b_3 + b_4 = 1$$

$$x^2: \quad b_2 c_2^2 + b_3 c_3^2 + b_4 \cdot 1^2 = \frac{1}{3} = \int_0^1 x^2 dx$$

$$x^5: \quad b_2 c_2^4 + b_3 c_3^4 + b_4 \cdot 1^4 = \frac{1}{5} = \int_0^1 x^4 dx$$

\Rightarrow System

$$\begin{cases} b_1 + b_2 = \frac{1}{2} \\ b_2 c_2^2 + b_2 (1 - c_2)^2 + b_4 = \frac{1}{3} \\ b_2 c_2^2 + b_2 (1 - c_2)^2 + b_1 = \frac{1}{5} \end{cases}$$

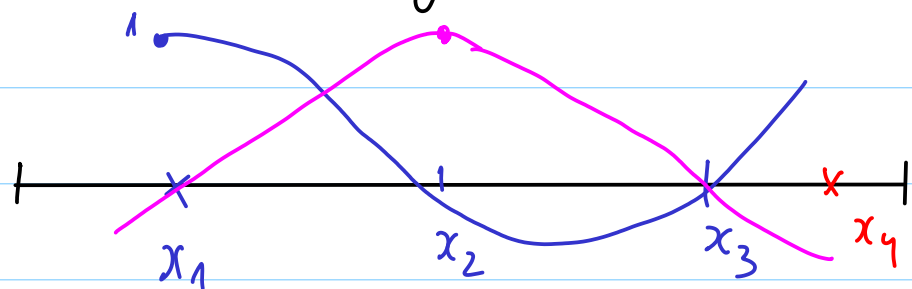
```
import numpy as np
from scipy import optimize
import matplotlib.pyplot as plt
```

```
def f(v):
    x = v[0]; y = v[1]; z = v[2]
    r1 = x+y-0.5
    r2 = x+ y*(z**2 + (1-z)**2) - 1./3.
    r3 = x + y*(z**4 +(1-z)**4) - 1./5.
    res = np.array([r1,r2,r3])
    return res

b1,b2, c2 = optimize.fsolve(f,[0.24, 0.25, 0.3])
print(b1,b2,c2)
# 0.08333333333326 0.416666666667 0.276393202253
```

Freitag 13.03.2020 Fragestunde (n)

Was noch unklar geblieben ist...



$$l_1(x) = \frac{(x-x_2)(x-x_3)}{(x_1-x_2)(x_1-x_3)}$$

$$l_1(x_1) = \frac{x_1-x_2}{x_1-x_2} \cdot \frac{x_1-x_3}{x_1-x_3} = 1$$

$$l_1(x_2) = 0 = l_1(x_3)$$

$$l_2(x) = \frac{(x-x_1)(x-x_3)}{(x_2-x_1)(x_2-x_3)}$$

$$l_3(x) = \frac{(x-x_1)(x-x_2)}{(x_3-x_1)(x_3-x_2)}$$

l_1, l_2, l_3 begründet von x_1, x_2, x_3

Für x_1, x_2, x_3, x_4 neue Polynome:

$$l_1(x) = \frac{(x-x_2)(x-x_3)(x-x_4)}{(x_1-x_2)(x_1-x_3)(x_1-x_4)}$$

$$\underline{f}, \underline{g} \in \mathbb{R}^3$$

$$\underline{f} \cdot \underline{g} = f_1 g_1 + f_2 g_2 + f_3 g_3$$

$$\underline{f}, \underline{g} \in \mathbb{R}^d$$

$$\underline{f} \cdot \underline{g} = \sum_{j=1}^d f_j g_j$$

$$f, g: [0, 1] \rightarrow \mathbb{R}$$

$$\langle f, g \rangle = \int_0^1 f(x)g(x) dx$$

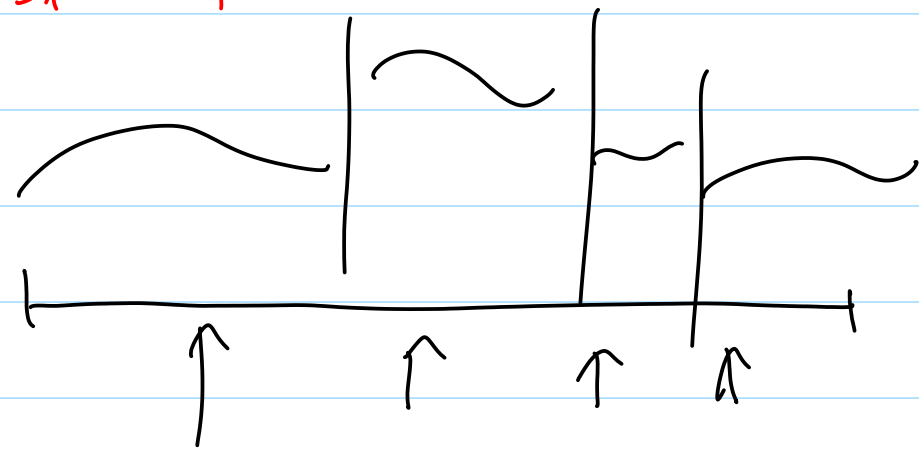
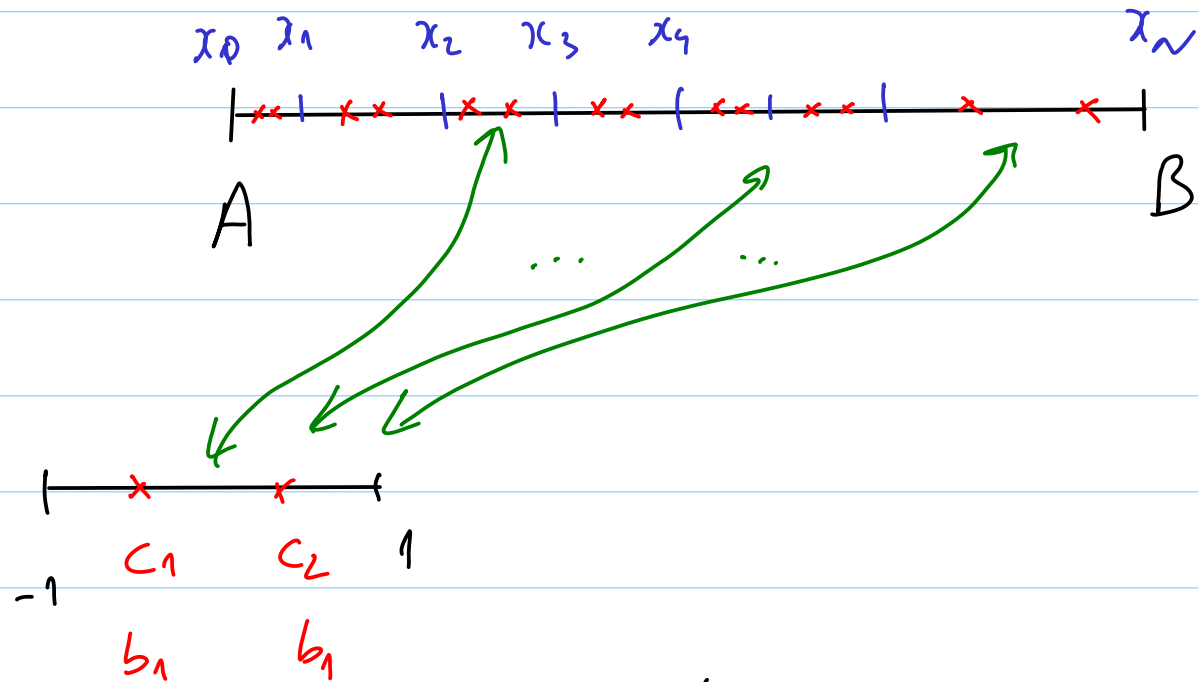
$$\mathcal{P}_n = \{ \text{Polynome vom Grad} \leq n-1 \}$$

↳ Basis von Normone $1, x, x^2, \dots, x^{n-1}$

aber nicht orthogonal für $\langle \cdot, \cdot \rangle$

↳ Gramschied

ONB von Polynome.



j^l Ger.

$$\dot{y} = f(t, y) \quad \text{ODE 1. Ordnung.}$$

$$\ddot{w} + 2\dot{w} + tw = \sin t + w$$

$$\begin{aligned}
 y_1 = w \\
 y_2 = \dot{w} \\
 y_3 = \ddot{w}
 \end{aligned}
 \Rightarrow
 \begin{cases}
 \dot{y}_1 = \dot{w} = y_2 \\
 \dot{y}_2 = \ddot{w} = y_3 \\
 \dot{y}_3 = \dddot{w} = -2y_3 - ty_2 + \sin t + y_1
 \end{cases}$$

$$\dot{z} = f(t, z) \quad f(t, z) = \begin{bmatrix} y_2 \\ y_3 \\ -2y_3 - ty_2 + y_1 + \sin t \end{bmatrix}$$

↳ ODE 1. Ordnung, nicht-autonom.

autonomisieren: $z = t \quad \dot{z} = 1$

$$\begin{bmatrix} \dot{z} \\ \dot{y} \end{bmatrix} = \begin{bmatrix} 1 \\ -2y_3 - z y_2 + y_1 + \sin z \end{bmatrix}$$

↳ ODE 1. Ordnung, autonom.

EG

$$\underline{y}_{k+1} = \underline{y}_k + h \underline{f}(\underline{y}_k) \in \mathbb{R}^4$$

def $f(v)$:

$$v = \begin{bmatrix} z \\ y_1 \\ y_2 \\ y_3 \end{bmatrix}$$

return

$$\begin{bmatrix} 1 \\ y_2 \\ y_3 \\ -2y_3 - z y_2 + y_1 + \sin(z) \end{bmatrix}$$

CE

$$\underline{y}_{k+1} = \underline{y}_k + h \underline{f}(\underline{y}_{k+1}) \Leftrightarrow$$

$$\underline{y}_{k+1} - \underline{y}_k - h \underline{f}(\underline{y}_{k+1}) = 0$$

$$F(v) = v - \underline{y}_k - h f(v)$$

solve: $F(v) = 0$

$$\hookrightarrow v = \text{Ergebnis. als } \underline{y}_{k+1}$$

Freitag 20.03.2020 Fragestunde

$H: \mathbb{R}^d \times \mathbb{R}^d \rightarrow \mathbb{R}$ Hamilton-Funktion

$$\underline{y} = \begin{bmatrix} \underline{p} \\ \underline{q} \end{bmatrix}; \quad \dot{\underline{y}} = \begin{bmatrix} \mathbf{0} & -\mathbf{I} \\ \mathbf{I} & \mathbf{0} \end{bmatrix} \begin{bmatrix} \frac{\partial H}{\partial \underline{p}} \\ \frac{\partial H}{\partial \underline{q}} \end{bmatrix}$$

$$H(\underline{p}, \underline{q}) \in \mathbb{R}$$

$$\underline{\partial} = \begin{bmatrix} \mathbf{0} & \mathbf{I}_d \\ -\mathbf{I}_d & \mathbf{0} \end{bmatrix} = \left[\begin{array}{cc|cc} 0 & 0 & 1 & 0 \\ 0 & 0 & 0 & 1 \\ \hline -1 & 0 & 0 & 0 \\ 0 & -1 & 0 & 0 \end{array} \right]$$

Hamilton System:

$$\begin{cases} \dot{p}_j = - \frac{\partial H}{\partial q_j}(\underline{p}(t), \underline{q}(t)) \\ \dot{q}_j = \frac{\partial H}{\partial p_j}(\underline{p}(t), \underline{q}(t)) \end{cases} \quad j = 1, 2, \dots, d$$

$$\frac{\partial H}{\partial \underline{p}} = \begin{bmatrix} \frac{\partial H}{\partial p_1} \\ \vdots \\ \frac{\partial H}{\partial p_d} \end{bmatrix} = \begin{bmatrix} -\mathbf{I} & \mathbf{0} \\ \mathbf{0} & -\mathbf{I} \end{bmatrix} = -\mathbf{I}_{2d}$$

$$(-\underline{\partial}) \cdot \underline{\partial} = \mathbf{I}_{2d} \Rightarrow \underline{\partial}^{-1} = -\underline{\partial} = \begin{bmatrix} \mathbf{0} & -\mathbf{I} \\ \mathbf{I} & \mathbf{0} \end{bmatrix}$$

$$\underline{p}, \underline{q}: [0, T] \rightarrow \mathbb{R}^d$$

Beispiel 2.1.23. (Lorenz-System)

Die autonome Differentialgleichung

$$\begin{aligned}
 \dot{x} &= \sigma(y - x), \\
 \dot{y} &= x(\rho - z) - y, \\
 \dot{z} &= xy - \beta z,
 \end{aligned}
 \tag{2.1.10}$$

mit $D = \mathbb{R}^3$ und Konstanten $\sigma, \rho, \beta \in \mathbb{R}^+$ ist das typische Beispiel eines chaotischen Systems. Kleine Mess- oder Rundungsfehler wirken sich in unvorhersehbaren Evolutionen.

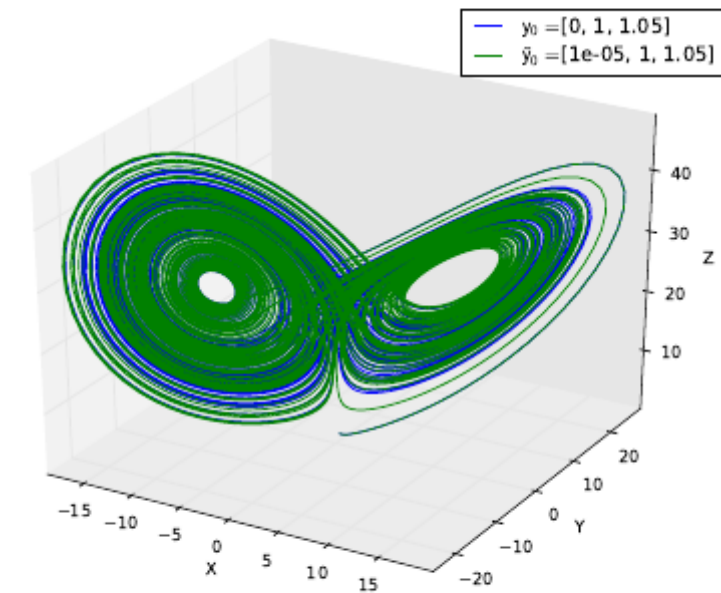
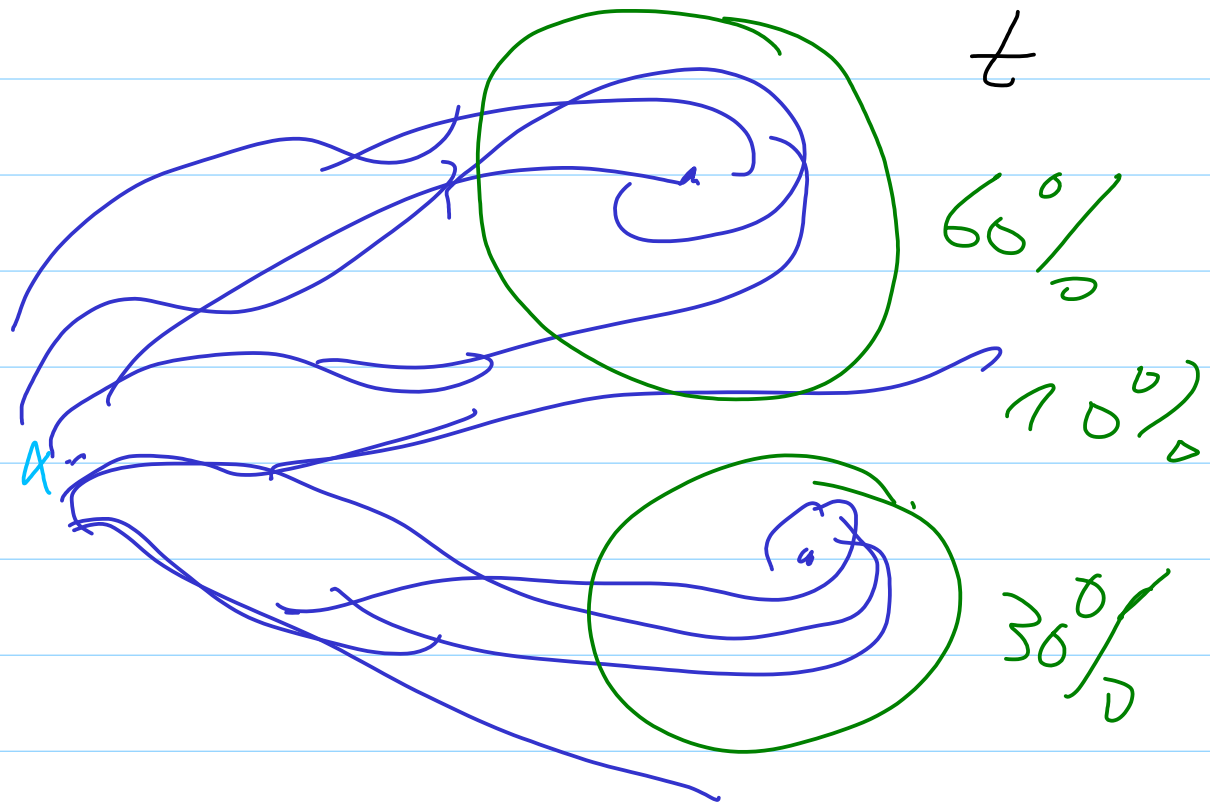
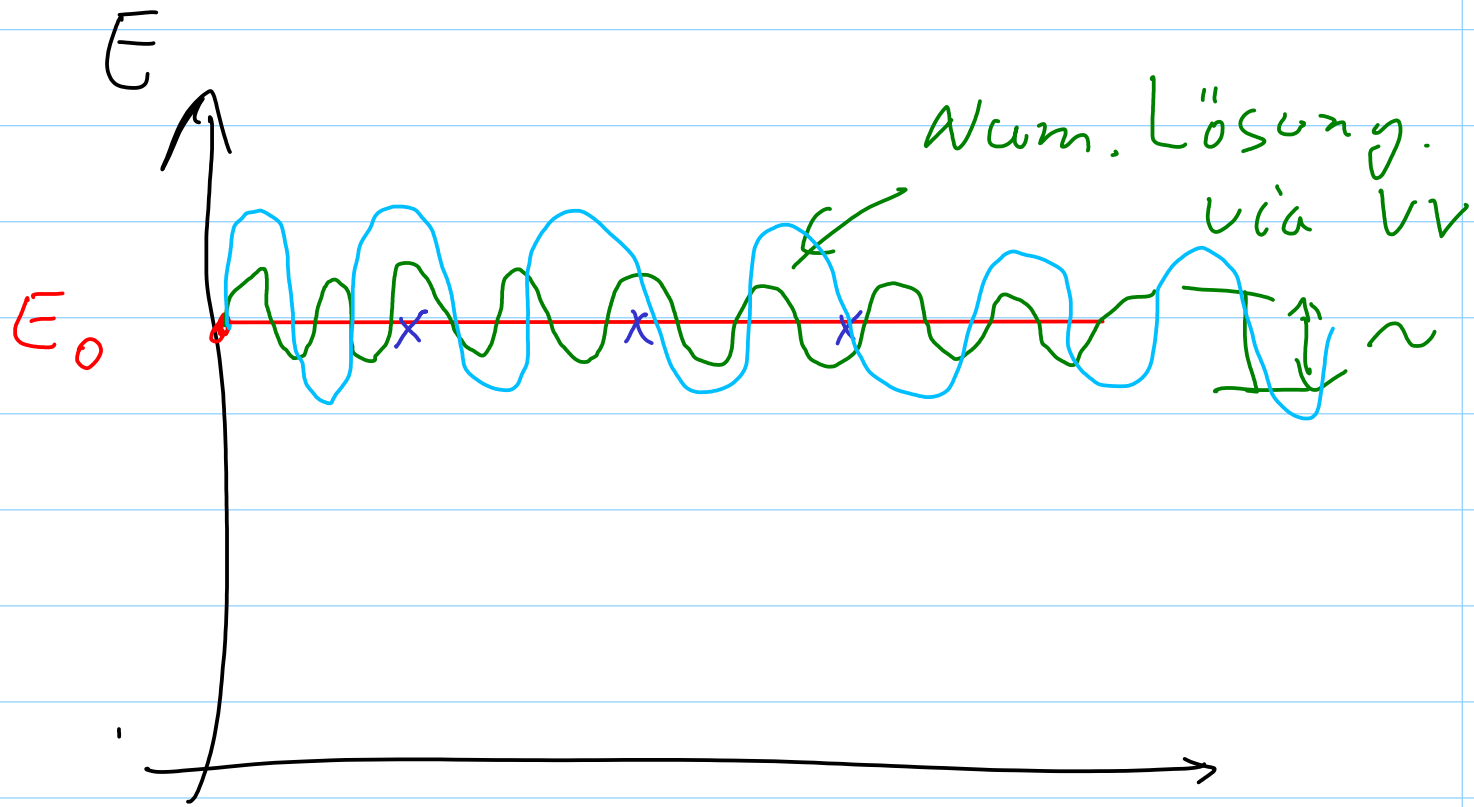


Abb. 2.1.24. Zwei Lösungskurven des Lorenz-Systems für $\sigma = 10, \rho = 28, \beta = 8/3$.

5. (8 Punkte): Modifizierte Euler Verfahren

a) Begründen Sie das modifizierte explizite Euler-Verfahren

$$w = y_n + \frac{h}{2} f(t_n, y_n)$$

$$y_{n+1} = y_n + h f(t_n + \frac{h}{2}, w)$$

(9)

und das modifizierte implizite Euler-Verfahren

$$w = y_n + \frac{h}{2} f(t_n + \frac{h}{2}, w)$$

$$y_{n+1} = y_n + h f(t_n + \frac{h}{2}, w)$$

(10)

als Polygonzugverfahren zur numerischen Lösung einer gewöhnlicher Differentialgleichung

$$\dot{y} = f(t, y).$$

(m ∈ E) $\frac{y_{n+1} - y_n}{h} = f(t_n + \frac{h}{2}, w)$

steigung an der Traj. in $(t_n + \frac{h}{2}, w)$

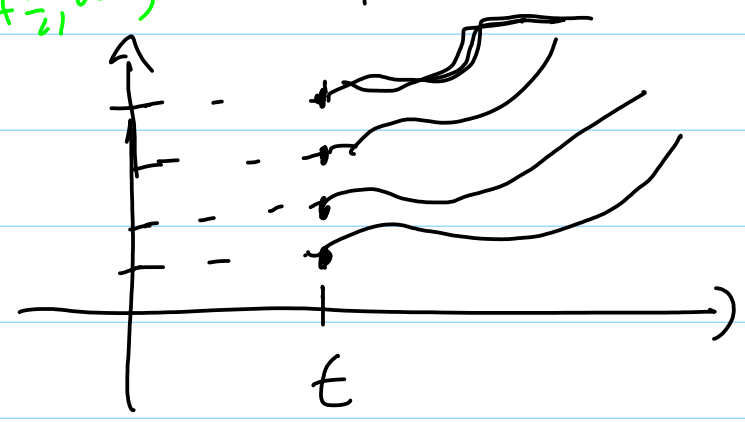
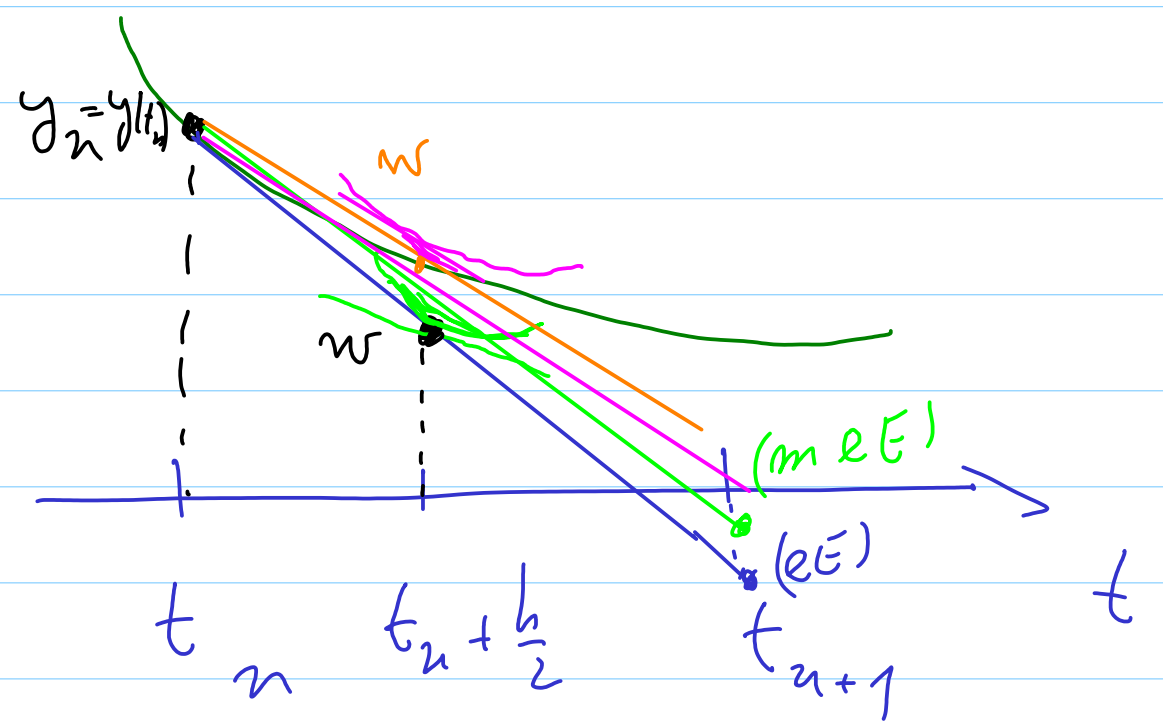
$$w = y_n + \frac{h}{2} f(t_n, y_n)$$

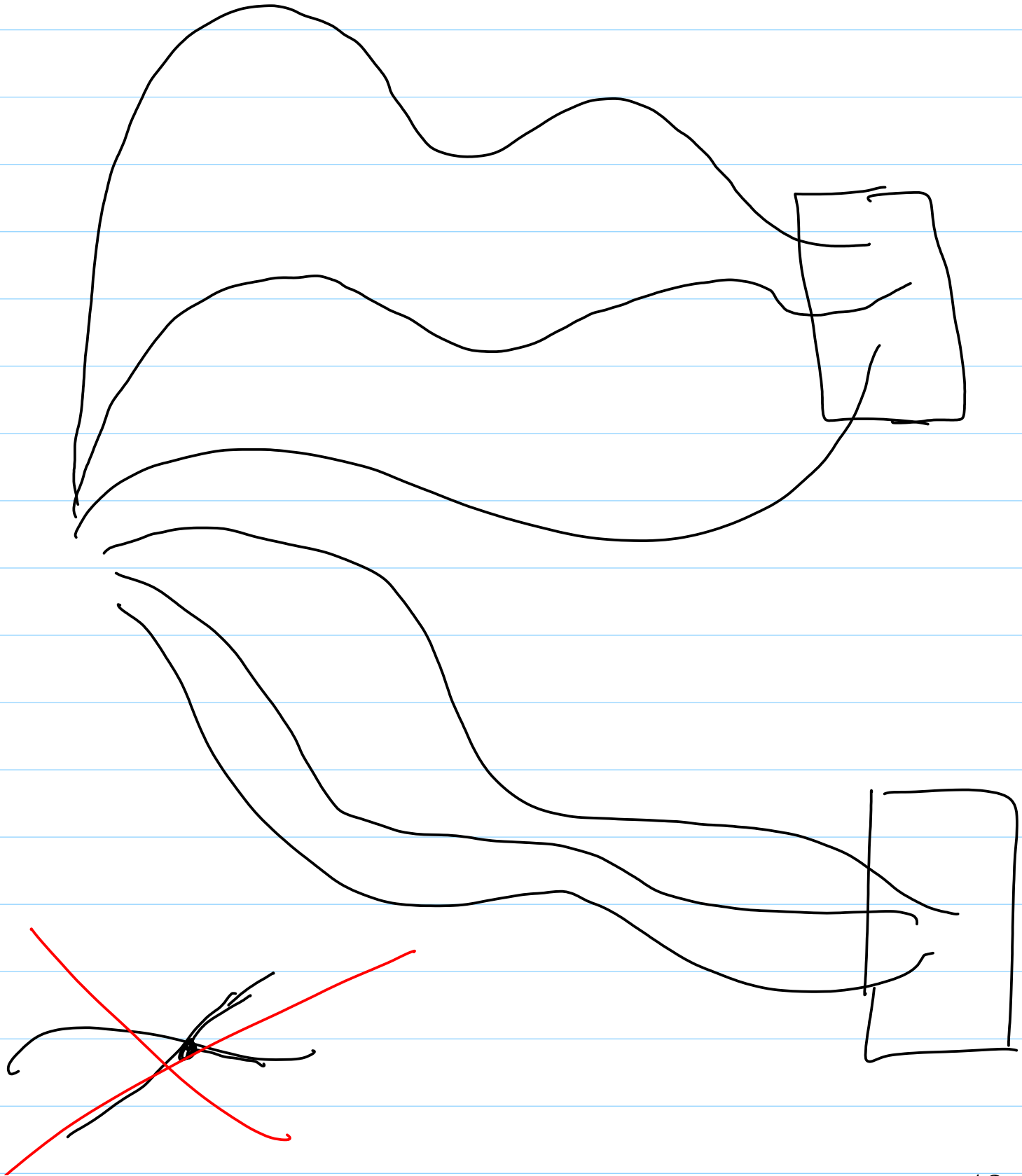
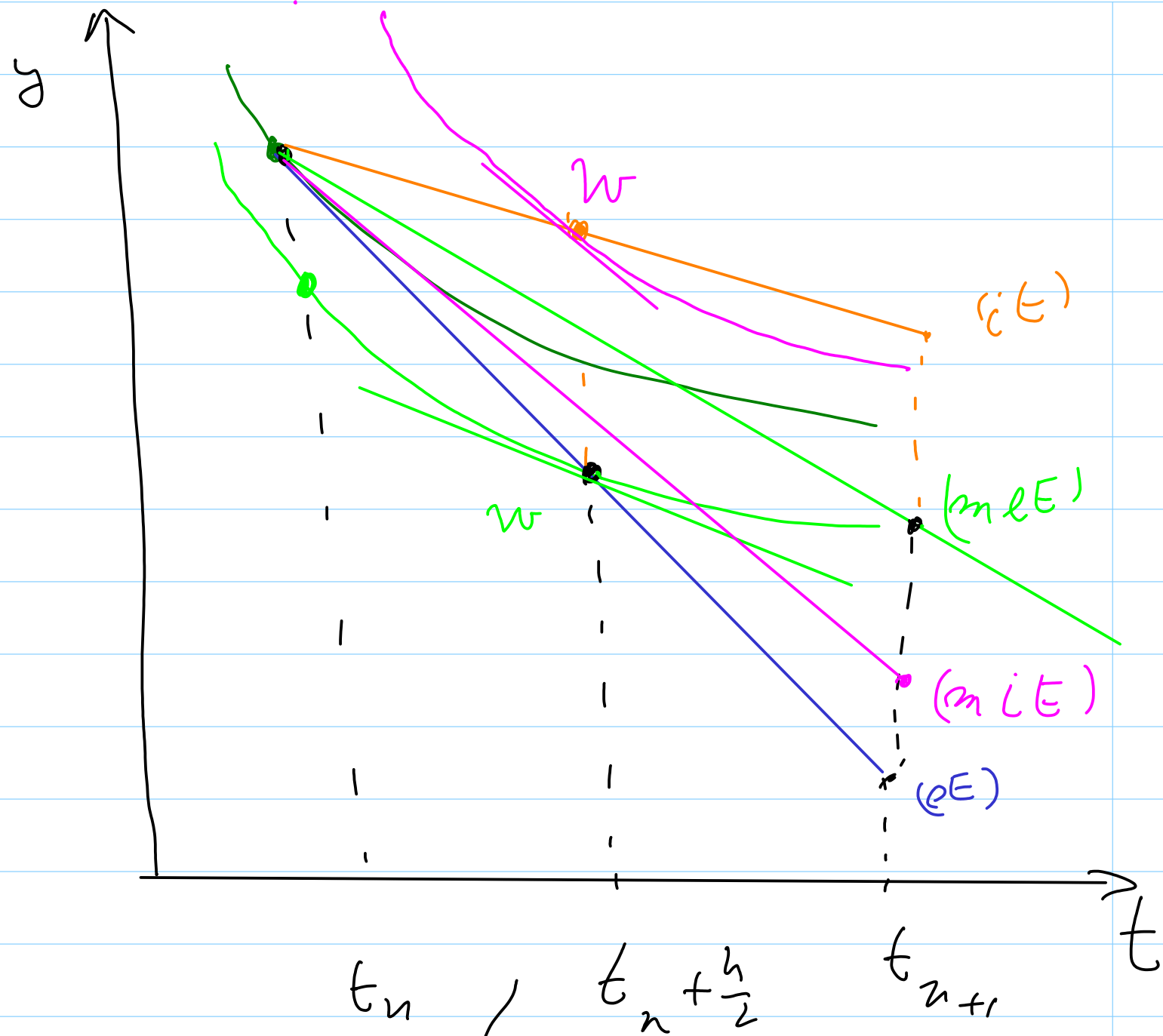
e ∈ E mit $\frac{h}{2}$ stat h

für i ∈ E: $w = y_n + \frac{h}{2} f(t_n + \frac{h}{2}, w)$

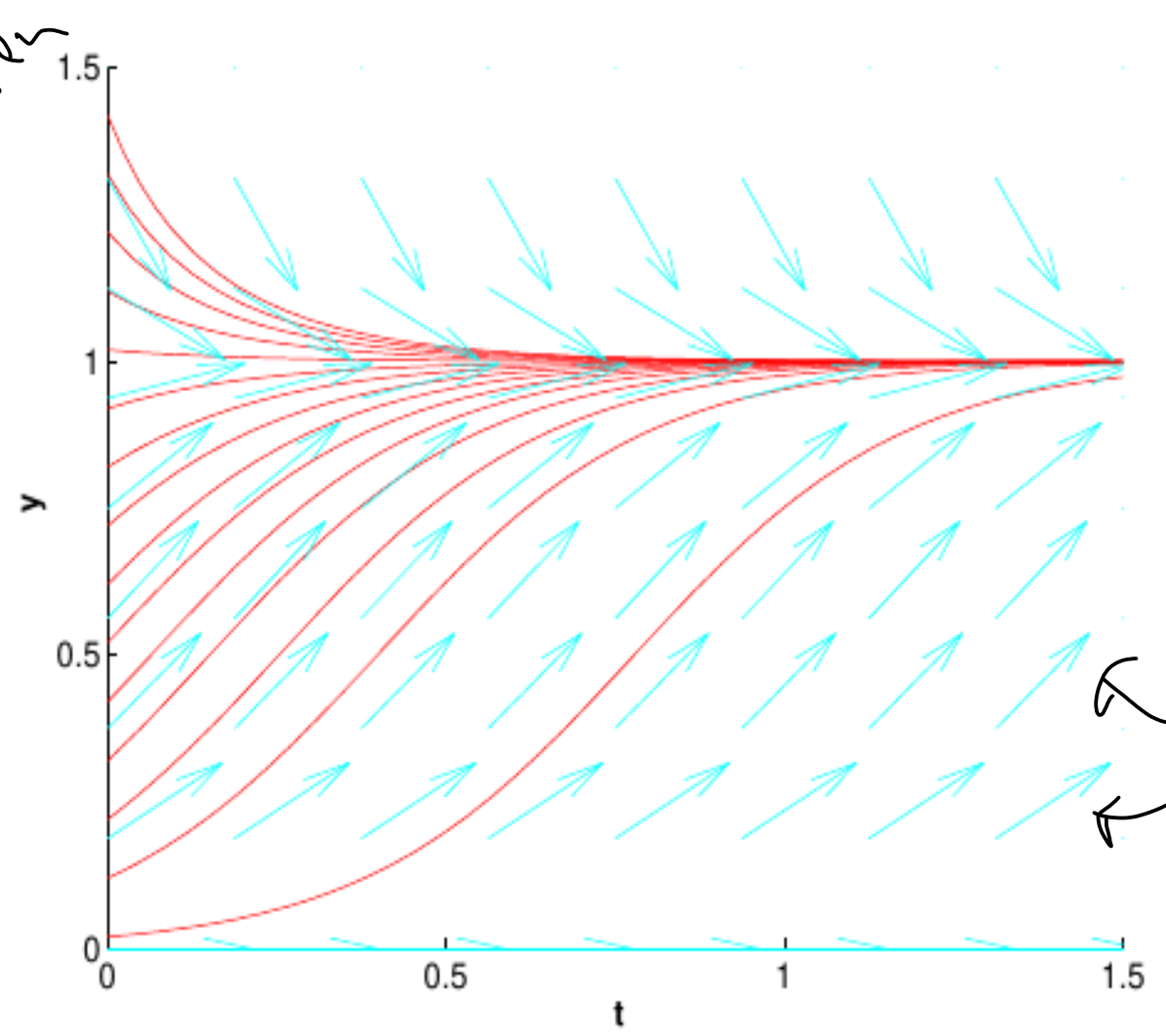
↳ i ∈ E mit $\frac{h}{2}$

$$y_{n+1} = y_n + h f(t_n + \frac{h}{2}, w)$$





vieler Trajektorien



Richtungsfeld

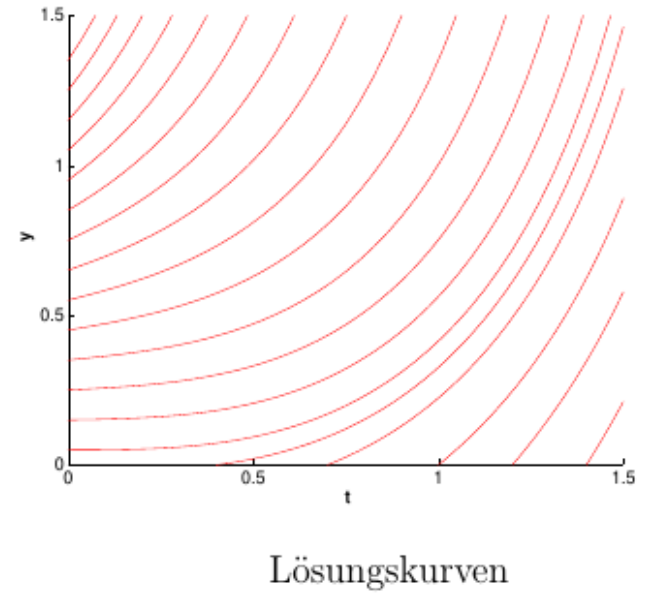
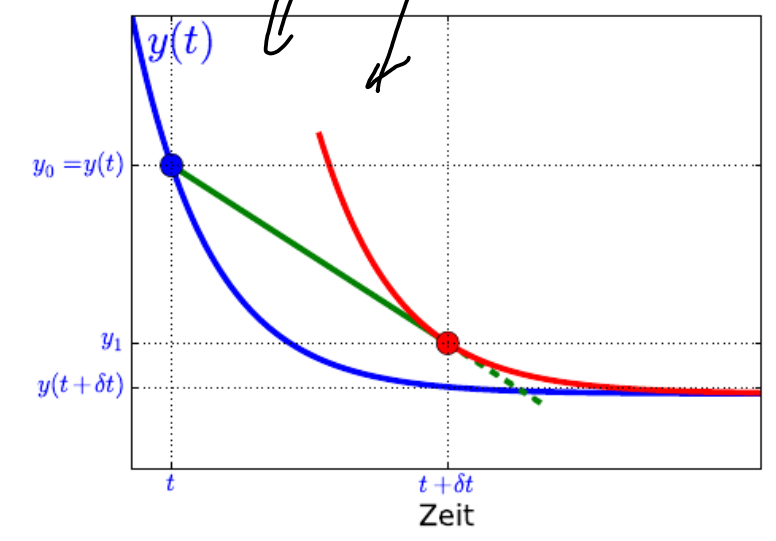


Abb. 2.1.16. Richtungsfeld und Lösungskurven der Gleichung (2.1.6) für $\alpha, \beta = 5$

2 Trajektorien



b) Beweisen Sie dass das $(m i E) \rightsquigarrow (i K P)$

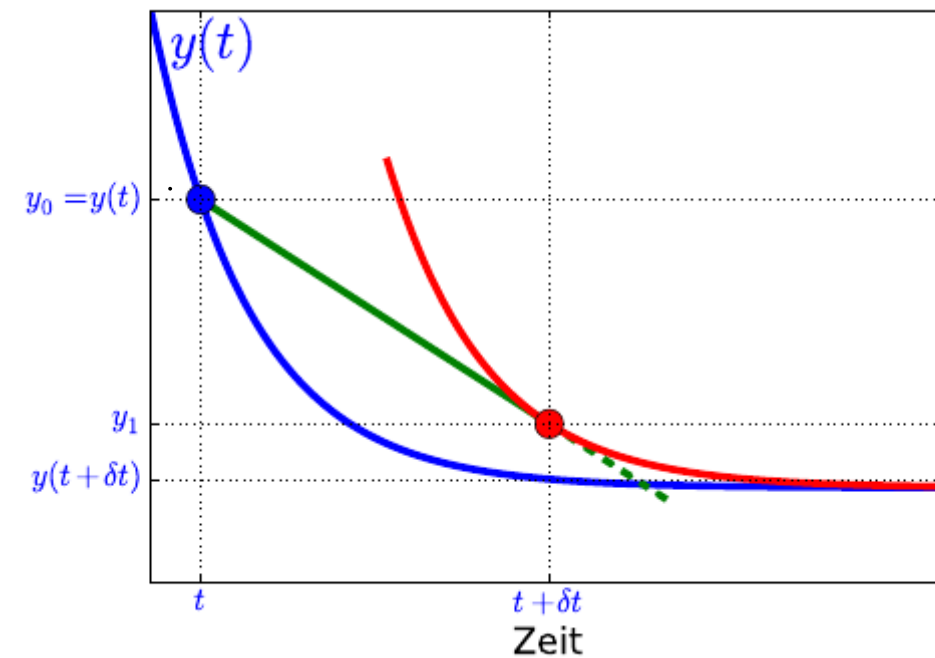
$(m i E)$ identisch mit der $(i K P)$ ist.

$$(i K P): \quad y_{n+1} = y_n + h f\left(\frac{t_n + t_{n+1}}{2}, \frac{y_n + y_{n+1}}{2}\right)$$

$= t_n + \frac{h}{2}$

$$(m i E): \quad \begin{cases} w = y_n + \frac{h}{2} f\left(t_n + \frac{h}{2}, w\right) \\ y_{n+1} = y_n + h f\left(t_n + \frac{h}{2}, w\right) \end{cases}$$

2 Trajektorien



$(m \in \mathbb{E})$

$$y_{n+1} = y_n + h f\left(t_n + \frac{h}{2}, w\right) \Rightarrow$$

$$h f\left(t_n + \frac{h}{2}, w\right) = y_{n+1} - y_n \Rightarrow$$

$$\frac{h}{2} f\left(t_n + \frac{h}{2}, w\right) = \frac{1}{2} (y_{n+1} - y_n) \Rightarrow$$

$$\Rightarrow w = y_n + \frac{1}{2} (y_{n+1} - y_n) \Rightarrow$$

$$w = \frac{y_n}{2} + \frac{y_{n+1}}{2} = \frac{y_n + y_{n+1}}{2}$$

$$y_{n+1} = y_n + h f\left(t_n + \frac{h}{2}, w\right) = y_n + h f\left(t_n + \frac{h}{2}, \frac{y_n + y_{n+1}}{2}\right)$$

$$\Rightarrow (\text{CIP})$$

Freitag 27.03.2020 Fragerunde

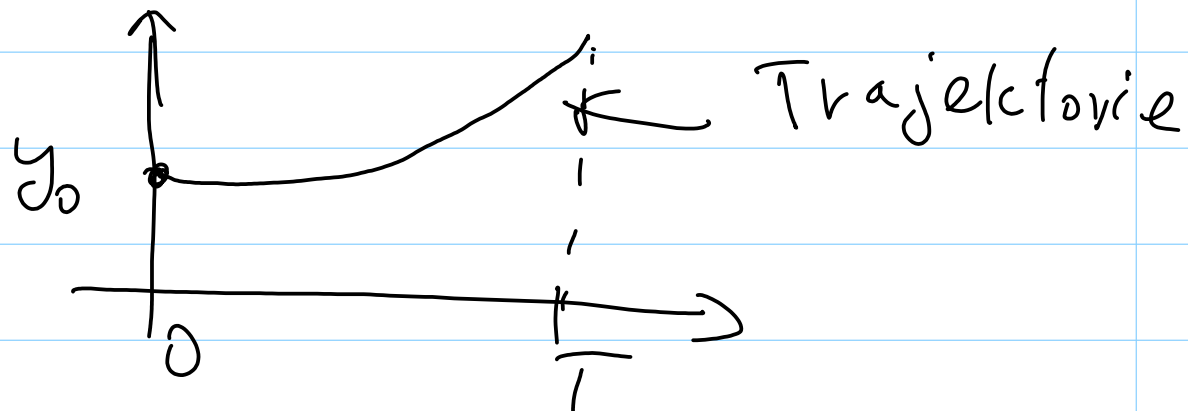
1) Idee der Fluss der ODE.

$\dot{y} = f(y)$ Diff.-Gleichung.
 1. Ordnung, autonom.
 $f: \mathbb{R} \rightarrow \mathbb{R}$

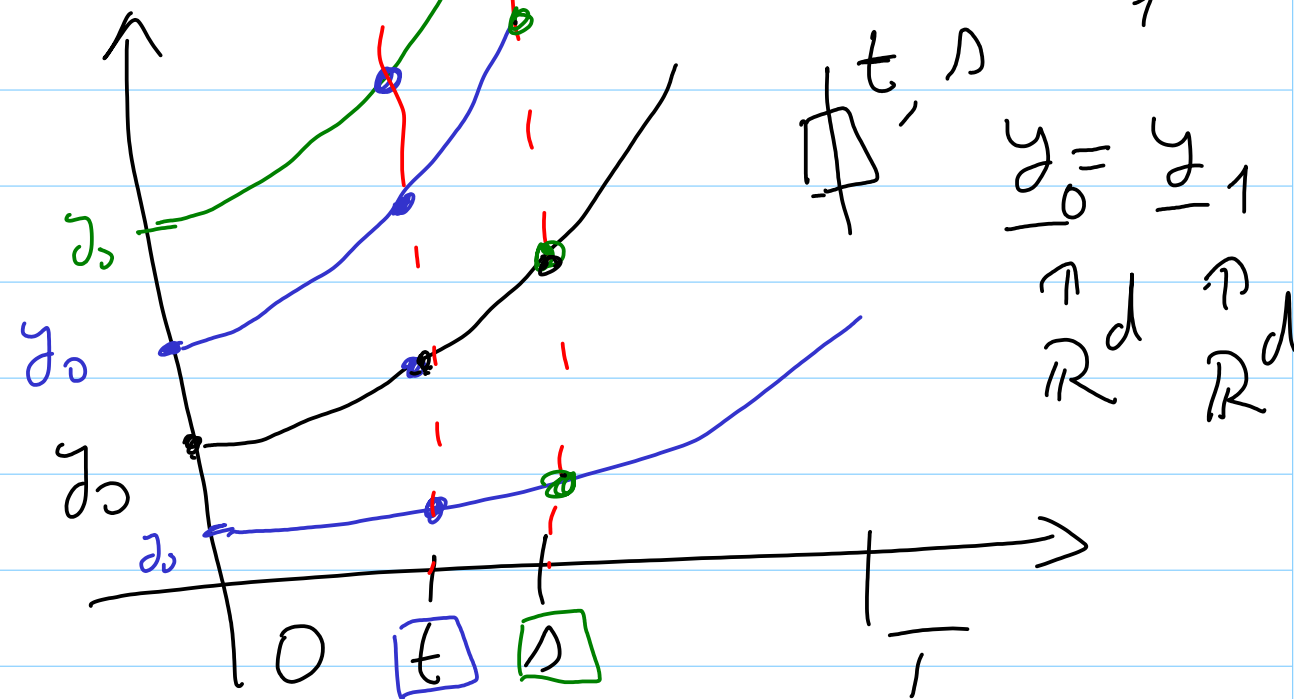
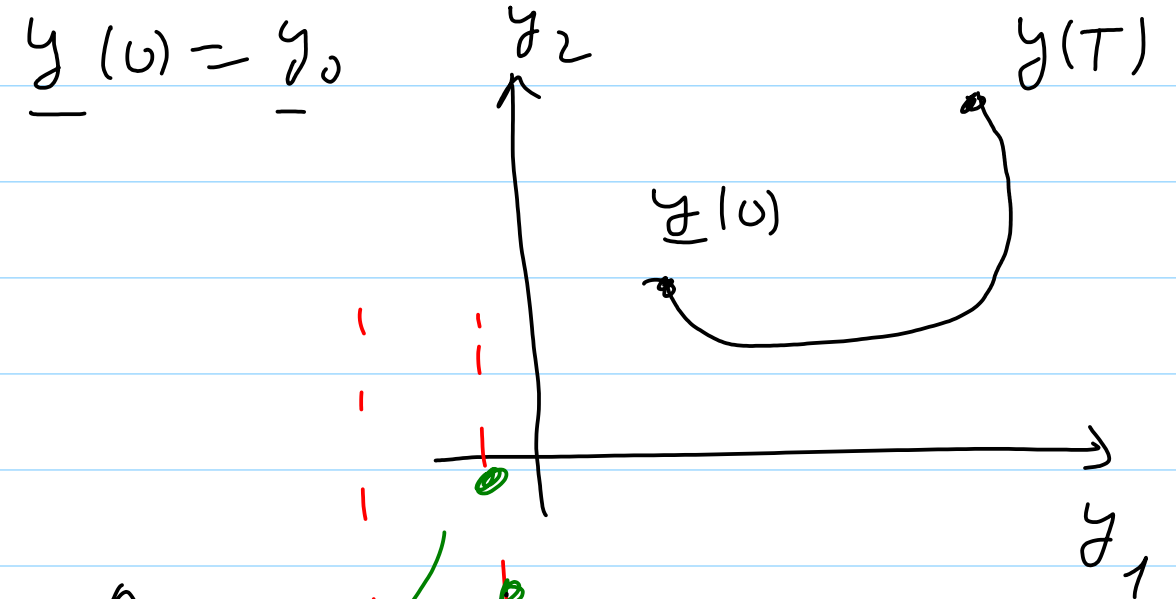
+ Anfangswert $y(0) = y_0$

\Rightarrow eine Lösung

$y: [0, T] \rightarrow \mathbb{R}$



$\dot{y} = f(y) \quad f: \mathbb{R}^2 \rightarrow \mathbb{R}^2$



$$\dot{y} = f(y) + g(y) \quad f, g: \mathbb{R}^d \rightarrow \mathbb{R}^d$$

$$\Phi_{f+g}^{t, \Delta} : \mathbb{R}^d \rightarrow \mathbb{R}^d$$

$f+g$

$$\Phi_{f+g}^{t, \Delta}(\underline{y}_0) = \underline{y}_1 \in \mathbb{R}^d$$

\hookrightarrow

$$\underline{y}_1 = \underline{y}(1) \text{ wobei}$$

$$\underline{y} : [0, T] \rightarrow \mathbb{R}^d$$

$$\underline{y}(t) = \underline{y}_0 \text{ Startwert}$$

\underline{y} erfüllt: ODE

$$\dot{\underline{y}} = f(\underline{y}) + g(\underline{y})$$

$$\dot{\underline{y}} = f(\underline{y})$$

$$\Phi_f^{t, \Delta}(\underline{y}_0) = \underline{y}_1 \in \mathbb{R}^d$$

$$\underline{y}_1 = \underline{y}(1) \text{ wobei}$$

$$\underline{y}(t) = \underline{y}_0 \text{ und}$$

$$\dot{\underline{y}} = f(\underline{y})$$

$$\dot{\underline{y}} = g(\underline{y}) \quad \underline{y} : [0, T] \rightarrow \mathbb{R}^d$$

$$\underline{y}(t) \in \mathbb{R}^d$$

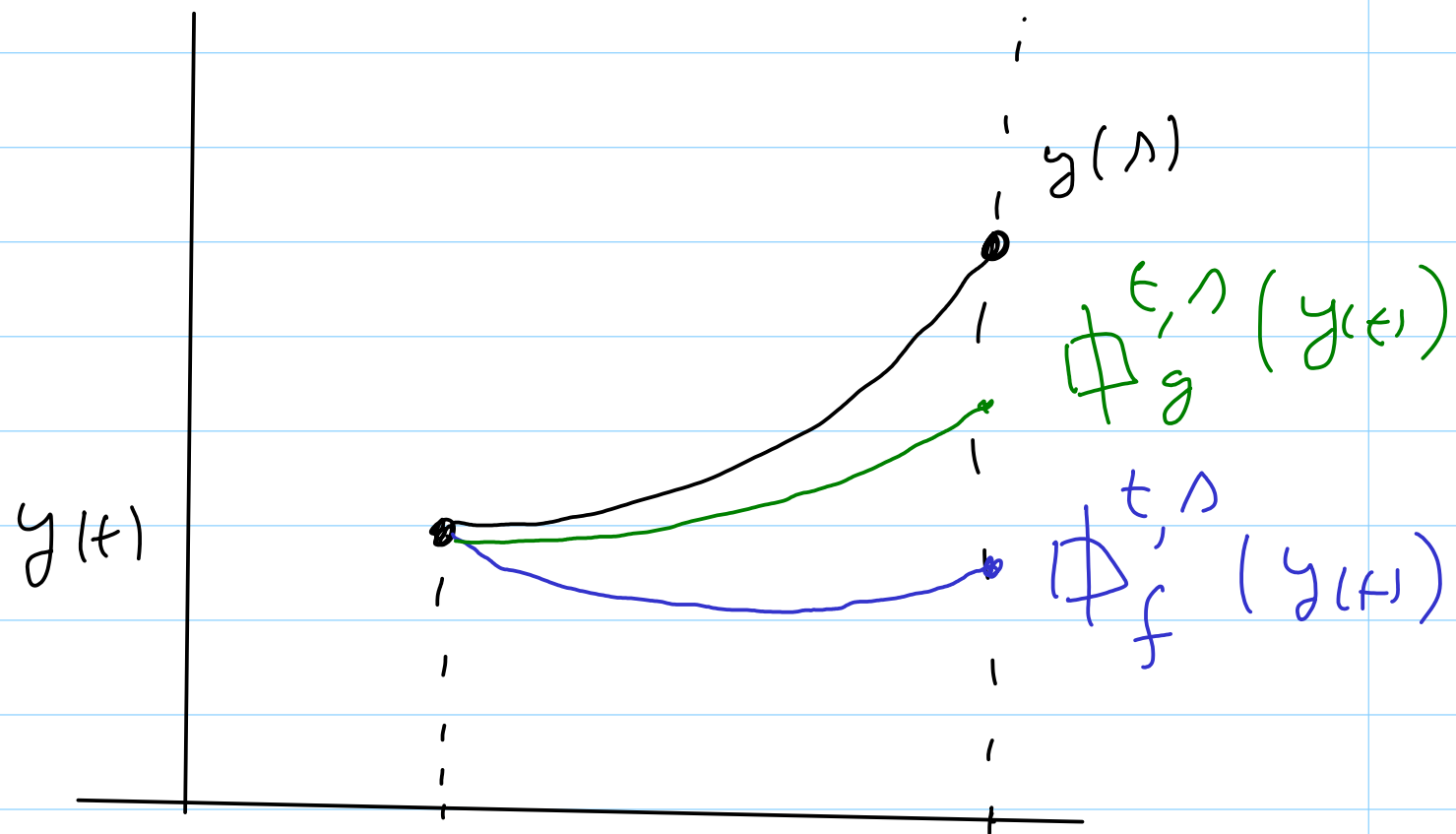
$$\Phi_g^{t, \Delta}(\underline{y}_0) = \underline{y}_1 \in \mathbb{R}^d$$

$$\text{Wert} \in \mathbb{R}^d$$

$$\underline{y}_1 = \underline{y}(1) \text{ wobei}$$

$$\underline{y}(t) = \underline{y}_0 \text{ und}$$

$$\dot{\underline{y}} = g(\underline{y})$$



$\rightarrow \Phi_{\text{mix}}$ $\rightarrow \Phi_{\alpha}$ $\rightarrow \Phi_{\text{rest}}$
 $\sin \alpha = \alpha + \cancel{O(\alpha^3)}$
 $\sin \alpha \approx \alpha \Rightarrow \text{exakte Lösung.}$
 $f + g \approx f ; \Phi_{f+g} \approx \Phi_f$

$$\dot{\underline{y}} = \underline{M} \underline{y} = (\underline{A} + \underline{B}) \underline{y}$$

autonome ODE: Zeit verschiebe.

\Rightarrow immer $t_0 = 0$

$$\Phi_f^{t, \tau} = \Phi_f^{0, \tau-t} = \Phi_f^{\tau-t}$$

$$\underline{y}(t) = e^{\underline{M}t} \underline{y}_0 \text{ löst}$$

$$\dot{\underline{y}} = \underline{M} \underline{y} \text{ mit } \underline{y}(0) = \underline{y}_0$$

$$\underline{y}(t) = e^{\underline{A}t} \underline{y}$$

$$\Phi_M^t = e^{\underline{M}t} ; \Phi_A^t = e^{\underline{A}t} ; \Phi_B^t = e^{\underline{B}t}$$

andere Hintereinander-
ausführungen der

Φ_A, Φ_B macht

$$\underline{M} = \underline{A} + \underline{B}$$

$$e^{\underline{M}t}, e^{\underline{A}t}, e^{\underline{B}t}$$

$$\Rightarrow \Phi_A^t \Phi_B^t \approx \Phi_{\underline{A} + \underline{B}}^t$$

$$\Phi_B^t \Phi_A^t \approx \Phi_{\underline{A} + \underline{B}}^t$$

$O(\hbar^2) \Rightarrow \text{global } O(\hbar)$

$$\Phi_B^{t/2} \Phi_A^t \Phi_B^{t/2} \approx \Phi_{\underline{A} + \underline{B}}^t \quad O(\hbar^3)$$

↓
global $O(\hbar^2)$.

$$\prod_{i=1}^n \Phi_{B_i}^{b_i \hbar} \Phi_A^{a_i \hbar} \approx \Phi_{A+B}^{\hbar}$$

$$\sum_{i=1}^n a_i = \sum_{i=1}^n b_i = 1$$

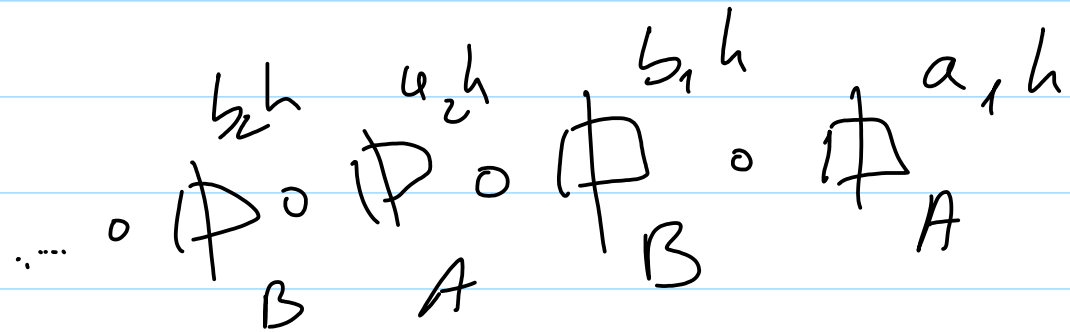
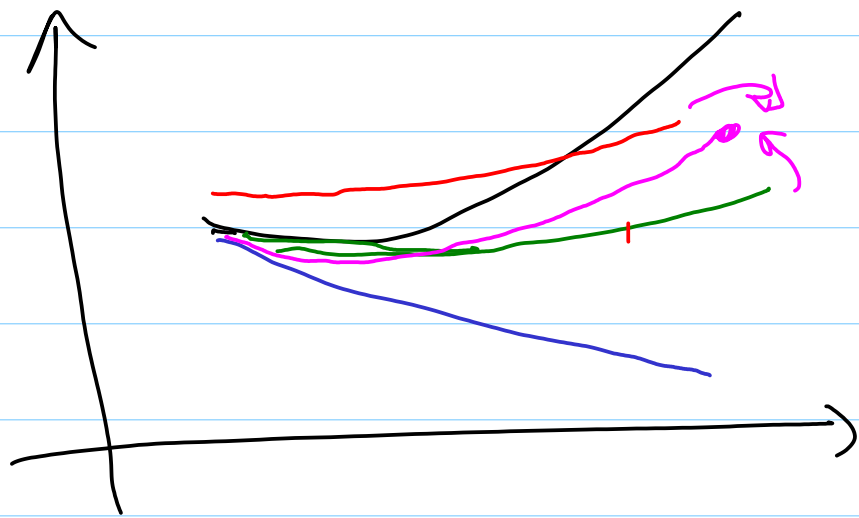
Erhöhe Ordnung, indem man

LT: $n=1$

$b_1 = a_1 = 1$

SS: $n=2$

$b_1 = \frac{1}{2} = b_2, a_1=1, a_2=0$



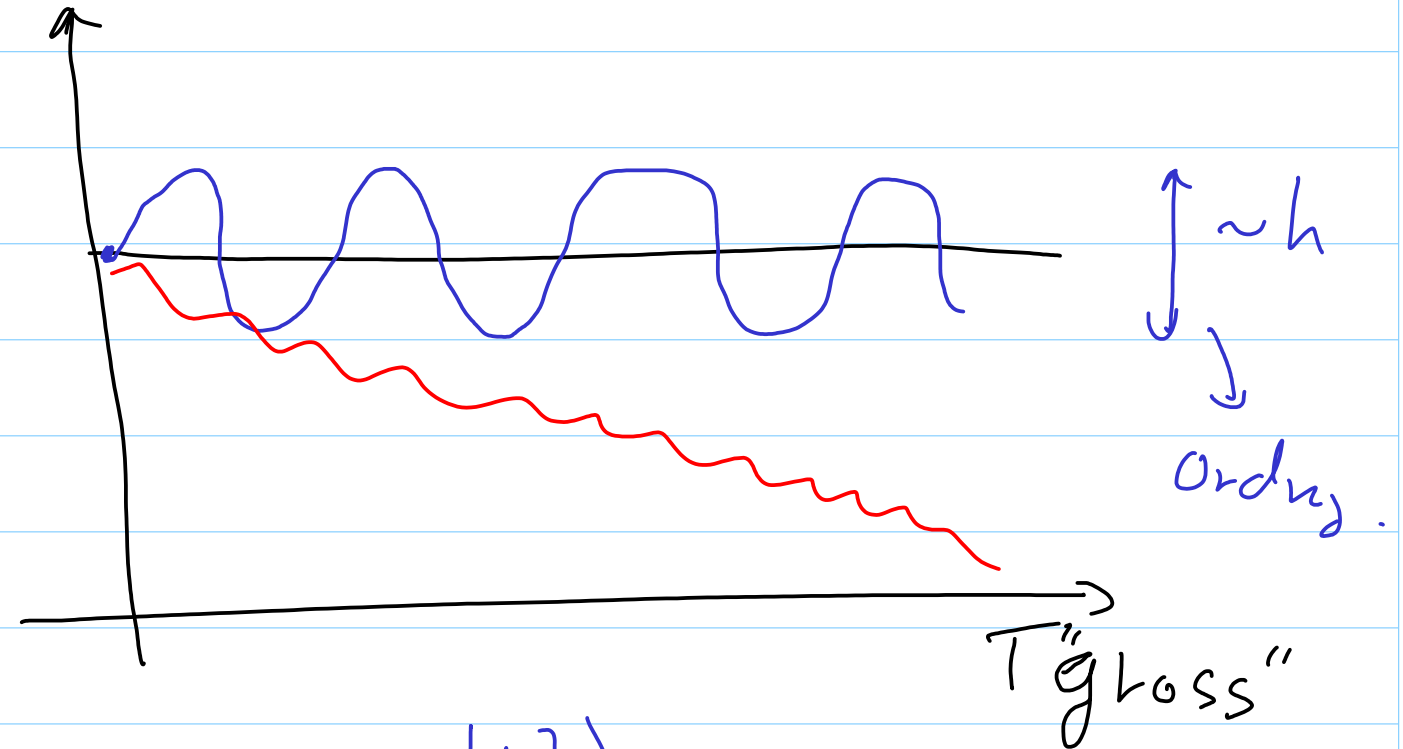
2) Bleibt die Energie erhalten.

Nein!

∈ Gauss-Kollokationsverfahren.

Exakt erhalten bleibt IMP
 nur wenn die Energie quadratisch

$$E(\underline{y}) = \underline{y}^T \underline{\underline{M}} \underline{y} \Rightarrow E(\underline{y}_1) = E(\underline{y}_2)$$



$O(h^2)$

$O(h)$

Die Differentialgleichung für den Auslenkungswinkel θ des invertierten Federpendels im Bild ist

$$\ddot{\theta} = -\frac{c}{mL^2}\theta + \frac{g}{L}\sin\theta. \quad (4)$$

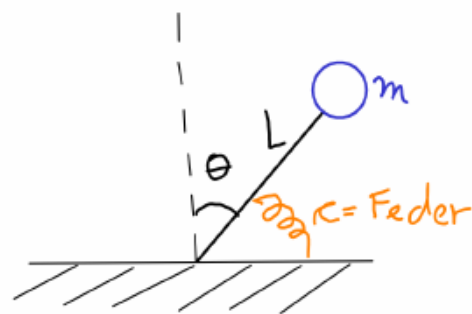


Abbildung 2 - Federpendel.

Die physikalischen Konstanten sind im File angegeben. Die Endzeit ist im Folgenden $T = 1000$.

- a) Schreiben Sie die Gleichung als Hamilton-System und geben Sie die Hamilton Funktion an.
- b) Benutzen Sie das Hamilton-System, um die Gleichung mit $N = 5000$ Zeitschritten des Störmer-Verlet Verfahrens zu lösen.
Hinweis: das Störmer-Verlet Verfahren kann auch als Splitting Verfahren verstanden werden. Damit können die implementierte Funktionen `Approximate`, `splitting`, `splitting_step` und `integrate` nützlich sein.
- c) Benutzen Sie das Hamilton-System, um die Gleichung mit $N = 2500$ Zeitschritten eines symplektischen partitionierten Runge-Kutta (spRK) Verfahren der Ordnung 6 zu lösen.
- d) Plotten Sie in linlog-Skala die Abweichungen der Totalenergie für die Approximationen aus (b) und (c). Im template `Federpendel.py` wird das Plot für `ode45` bereits gegeben. Erklären Sie das beobachtete Verhalten für alle drei Methoden.
Hinweis: Die Funktion `semilogy` unter `matplotlib.pyplot` kann nützlich sein.
- e) Schreiben Sie welcher dieser drei Lösungen Sie am meisten und welcher Sie am wenigsten trauen und begründen Sie Ihre Wahl.

$$\ddot{\theta} = -\frac{c}{mL^2}\theta + \frac{g}{L}\sin\theta$$

$$q = \theta, \quad p = \dot{\theta}$$

$$\begin{cases} \dot{q} = \dot{\theta} & = p = \frac{\partial H}{\partial p} \\ \dot{p} = -\frac{c}{mL^2}\theta + \frac{g}{L}\sin\theta & = -\frac{\partial H}{\partial q} \end{cases}$$

$$\Rightarrow H(q, p) = \frac{1}{2} p^2 + \frac{c}{2mL^2} q^2 + \frac{g}{L} \cos(q)$$

$$= \frac{1}{mL^2} E_{tot}$$

$$E_{kin} = \frac{1}{2} mL^2 p^2, \quad V(q) = \frac{1}{2} c q^2 + g m L \cos(q)$$

$$\left. \begin{array}{l} \dot{q} = p \\ \dot{p} = \end{array} \right\} = P$$

$$\dot{p} = \underbrace{\left(-\frac{c}{m\omega^2} \right)}_A q + \underbrace{\left(\frac{g}{L} \right)}_B \sin q$$

$$= \begin{array}{|l} P \\ 0 + \end{array} + \begin{array}{|l} 0 \\ Aq + B \sin q \end{array}$$

$$2) \left. \begin{array}{l} \dot{q} = 0 \\ \dot{p} = Aq + B \sin q \end{array} \right\} \Rightarrow q(h) = q_0$$

$$\Rightarrow p(h) = p_0 + (Aq_0 + B \sin q_0)h$$

(A)

$$1) \left. \begin{array}{l} \dot{q} = p \\ \dot{p} = 0 \end{array} \right\} \Rightarrow \begin{array}{l} q = p_0 \Rightarrow q(h) = q_0 + p_0 h \\ p(h) = p_0 \end{array}$$

(B)

$$\text{phi A: } \begin{bmatrix} q_0 \\ p_0 \end{bmatrix} \rightarrow \begin{bmatrix} q_0 \\ p_0 + (Aq_0 + B \sin q_0)h \end{bmatrix}$$

$$\text{phi B: } \begin{bmatrix} q_0 \\ p_0 \end{bmatrix} \rightarrow \begin{bmatrix} q_0 + p_0 h \\ p_0 \end{bmatrix}$$

Fragerunde vom 03.04.2020

a) Schreiben Sie das explizite Euler Verfahren und die implizite Mittelpunktsregel als Runge-Kutta Verfahren; geben Sie die entsprechenden Butcher-Tabellen an.

b) Programmieren Sie die Methoden von (a) als Runge-Kutta Verfahren. Verwenden Sie diese, um jeweils eine numerische Approximation mit $N = 100$ äquidistanten Zeitschritte an der Lösung der Gleichung

$$\begin{aligned} \dot{y} &= y(t) - 2 \sin(t), & t \in [0, 4], \\ y(0) &= 1. \end{aligned}$$

zu berechnen und zu plotten.

c) Verwenden Sie Ihren Code, um die entsprechenden Konvergenzordnungen dieser zwei Methoden empirisch zu finden; ploten Sie dabei den Fehler und Referenzkurven. Die exakte Lösung ist $y(t) = \cos(t) + \sin(t)$.

Hinweis: Benutzen Sie die folgende Schrittanzahl $N = 2^k$ mit $k = 5, \dots, 11$.

(eE):

$$\begin{array}{c|c} 0 & 0 \\ \hline & 1 \end{array} \left| \begin{array}{l} y_1 = y_0 + h \sum_{j=1}^1 b_j k_j \end{array} \right.$$

(iMP)

$$y_1 = y_0 + h f\left(t_0 + \frac{h}{2}, \frac{1}{2} y_0 + \frac{1}{2} y_1\right)$$

$b_1 = 1$

"k₁"

$$\begin{array}{c|c} \frac{1}{2} & \frac{1}{2} \\ \hline & 1 \end{array}$$

$$y_1 = y_0 + h k_1$$

$$k_1 = f\left(t_0 + \frac{h}{2}, \frac{1}{2} y_0 + \frac{1}{2} y_1\right)$$

$$k_i = f\left(t_0 + c_i h, y_0 + h \sum_{j=1}^1 a_{ij} k_j\right)$$

$$\begin{aligned} k_1 &= f\left(t_0 + \frac{h}{2}, y_0 + \frac{1}{2} y_1 - \frac{1}{2} y_0\right) \\ &= f\left(t_0 + \frac{h}{2}, y_0 + \frac{1}{2} (y_1 - y_0)\right) = f\left(t_0 + \frac{h}{2}, y_0 + \left(\frac{1}{2} h k_1\right)\right) \end{aligned}$$

$$(eE): \quad y_{n+1} = y_n + h f(t_n, y_n)$$

$$(m eE): \quad \begin{cases} w = y_0 + h \frac{1}{2} f(t_0, y_0) \\ y_1 = y_0 + h \underbrace{f(t_0 + \frac{1}{2} h, w)}_{k_2} \end{cases}$$

Wie man dies als RK schreibt?

$$\begin{cases} k_0 = y_0 + h \frac{1}{2} f(t_0, y_0) \\ k_2 = f(t_0 + \frac{1}{2} h, k_0) \end{cases}$$

$$y_1 = y_0 + h \frac{1}{2} k_2$$

$$\begin{array}{c|cc} 0 & 0 & 0 \\ \frac{1}{2} & \frac{1}{2} & 0 \\ \hline & 0 & 1 \end{array}$$

(2cE)

$$y_1 = y_0 + h \underbrace{f(t_0 + \frac{h}{2}, w)}_{k_2}$$

$$\begin{aligned} k_2 &= f(t_0 + \frac{h}{2}, w) = \cancel{f(t_0 + \frac{h}{2}, y_0 + \frac{h}{2} f(t_0 + \frac{h}{2}, w))} \\ &= f(t_0 + \frac{h}{2}, y_0 + \frac{h}{2} f(t_0 + \frac{h}{2}, w)) \end{aligned}$$

$$\begin{aligned} w &= y_0 + \frac{h}{2} f(t_0 + \frac{h}{2}, w) \\ &= y_0 + \frac{h}{2} k_2 \quad \Rightarrow \end{aligned}$$

$$k_2 = f(t_0 + \frac{h}{2}, y_0 + \frac{h}{2} k_2) \quad \begin{array}{c|c} \frac{1}{2} & \frac{1}{2} \\ \hline & 1 \end{array}$$

Zusatzbesprechung vom 15.04.2020

5. (8 Punkte): Modifizierte Euler Verfahren

a) Begründen Sie das modifizierte explizite Euler-Verfahren

$$\begin{aligned} w &= y_n + \frac{h}{2} f(t_n, y_n) \\ y_{n+1} &= y_n + h f(t_n + \frac{h}{2}, w) \end{aligned} \quad (5)$$

und das modifizierte implizite Euler-Verfahren

$$\begin{aligned} w &= y_n + \frac{h}{2} f(t_n + \frac{h}{2}, w) \\ y_{n+1} &= y_n + h f(t_n + \frac{h}{2}, w) \end{aligned} \quad (6)$$

als Polygonzugverfahren zur numerischen Lösung einer gewöhnlicher Differentialgleichung

$$\dot{y} = f(t, y).$$

- b) Beweisen Sie, dass das modifizierte implizite Euler-Verfahren identisch mit der impliziten Mittelpunktsregel ist.
- c) Finden Sie die Stabilitätsfunktionen der beiden modifizierten Euler-Verfahren.
- d) Bestimmen Sie empirisch die Konvergenzrate der beiden Euler-Verfahren indem Sie die Differentialgleichung

$$\dot{y} = -\sin(t) + \lambda(y - \cos(t)), \quad t \in [0, 2] \quad (7)$$

mit dem Startwert $y(0) = 1$ bis zur Endzeit $T = 2$ für $\lambda = -10$ lösen. Die exakte Lösung ist $y(t) = \cos(t)$.

Hinweis: Sie können die Funktion `compute_error` im File `ModifiedEuler.py` benutzen, um den Fehler zu berechnen.

- e) Betrachten Sie die mit dem modifizierten expliziten und modifizierten impliziten Euler Verfahren berechneten Lösungen dieser Gleichung für $\lambda = -2100$ mit N äquidistanten Schritten bis zur Endzeit $T = 2$.
 - (i) Plotten Sie die zwei Lösungen für $N = 1000$ und erklären Sie das beobachtete Verhalten,
 - (ii) Ab welchen N beobachten Sie einen Fehler zur Endzeit $T = 2$ kleiner als 10^{-4} für beide Verfahren?

$$\dot{y} = \lambda y, \quad \text{mit } \lambda \in \mathbb{C}, \operatorname{Re} \lambda < 0$$

(m EE)

$$\begin{aligned} w &= y_n + \frac{h}{2} \lambda y_n \\ y_{n+1} &= y_n + h \lambda w = y_n + h \lambda \left(y_n + \frac{h}{2} \lambda y_n \right) \\ &= y_n + h \lambda y_n + \frac{h^2}{2} \lambda^2 y_n = \left(1 + h \lambda + \frac{(h \lambda)^2}{2} \right) y_n \end{aligned}$$

$$S(z) = 1 + z + \frac{1}{2} z^2$$

(m IE)

$$w = y_n + \frac{h}{2} \lambda w \Rightarrow \left(1 - \frac{h}{2} \lambda \right) w = y_n \Rightarrow$$

$$\Rightarrow w = \frac{1}{1 - \frac{h}{2} \lambda} y_n \Rightarrow$$

$$y_{n+1} = y_n + h \frac{\lambda}{1 - \frac{h}{2} \lambda} y_n \Rightarrow y_{n+1} = \frac{1 + \frac{1}{2} \lambda h}{1 - \frac{1}{2} \lambda h} y_n$$

$$\Rightarrow S(z) = \frac{1 + \frac{1}{2} z}{1 - \frac{1}{2} z}$$

d) code - Ordnung, 2

e) $\lambda = -2100 \Rightarrow$ Stabilitätsprobleme für $(m \in \mathbb{E})$

$$\lambda < 1$$

$$S(z) = 1 + z + \frac{1}{2}z^2$$

$(m \in \mathbb{E})$ stabil falls $|S(\lambda h)| < 1 \Rightarrow$

$$\left| 1 + \lambda h + \frac{1}{2}(\lambda h)^2 \right| < 1$$

$$-1 < 1 + \lambda h + \frac{1}{2}(\lambda h)^2 < 1$$

$$-2 < \lambda h \left(1 + \frac{1}{2}\lambda h \right) < 0 \Rightarrow |\lambda h| < 2$$

$$\Rightarrow h < \frac{2}{|\lambda|} \Rightarrow N > \frac{|\lambda|}{2} T = 2100.$$

Fragerunde vom 24.04.2020

1) ODE höherer Ordnung \Rightarrow umschreiben in System ODE 1. Ordnung.

$$\underline{\dot{y}} = \underline{f}(t, \underline{y})$$

$$\underline{y} : [0, T] \rightarrow \mathbb{R}^d$$

$$\underline{f} : [0, T] \times \mathbb{R}^d \rightarrow \mathbb{R}^d$$

from scipy.integrate import solve_ivp

2) Konvergenzordnung bei Nullstellenproblemen.

Finde $\underline{x}^* \in \mathbb{R}^d$ so dass $\underline{F}(\underline{x}^*) = \underline{0}$

Iteratives Verfahren $\Rightarrow (\underline{x}^{(k)})_k \subset \mathbb{R}^d$

$$\underline{x}^{(0)}, \underline{x}^{(1)}, \underline{x}^{(2)}, \dots, \underline{x}^{(k)}, \dots \rightarrow \underline{x}^*$$

Lineare Konvergenz falls

$$\| \underline{x}^{(k+1)} - \underline{x}^* \| \leq L \| \underline{x}^{(k)} - \underline{x}^* \| \quad \text{für } k \geq k_0$$

mit $0 \leq L < 1$

↳ Konvergenzrate

Konvergenzordnung p :

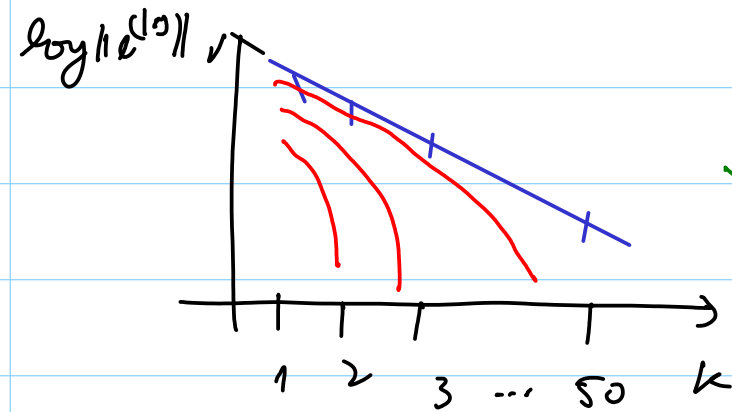
$$\| \underline{x}^{(k+1)} - \underline{x}^* \| \leq C \| \underline{x}^{(k)} - \underline{x}^* \|^p \quad \text{für } k \geq k_0$$

Achtung, für $p=1$ noch die Bedingung $C < 1$

$$\underbrace{\| \underline{x}^{(k+1)} - \underline{x}^* \|}_{e^{(k+1)}} \leq L \underbrace{\| \underline{x}^{(k)} - \underline{x}^* \|}_{e^{(k)}} \leq L^2 \underbrace{\| \underline{x}^{(k-1)} - \underline{x}^* \|}_{e^{(k-1)}} \dots$$

$$\| e^{(k+1)} \| \leq L^{k+1} \| e^{(0)} \|$$

$$\| e^{(k)} \| \leq L^k \| e^{(0)} \| \Rightarrow \log \| e^{(k)} \| \leq \underbrace{k}_{\text{blau}} \underbrace{\log L}_{\text{grün}} + \log \| e^{(0)} \|$$



↳ Steigung: $\log(L)$

Achtung, = Dieser Begriff unterscheidet sich fundamental von der Konvergenzordnung bei ODE; Quadratur.

3. (8 Punkte) Nichtlineares System

Das nichtlineare Gleichungssystem

$$F = \begin{pmatrix} f \\ g \end{pmatrix} = \begin{pmatrix} \sin(\pi\sqrt{x^2 + 4y^2}) \\ x^2 + y - 4\sin^2(\pi x) + 1 \end{pmatrix} = \mathbf{0} \quad (3)$$

ist zu lösen.

a) Implementieren Sie im File `Nullstellensuche.py` die Funktion F , deren Nullstellen wir suchen, und die Ableitung DF , so dass diese mit `numpy.array` arbeiten können;

b) Implementieren Sie ein Newton-Verfahren in \mathbb{R}^2 in `newton(x0, F, DF, rtol, maxiter)` in `Nullstellensuche.py`, wobei

- `x0` der Initialwert,
- `F` die Funktion F ,
- `DF` die Ableitung DF ,
- `rtol` die relative Toleranz,
- `maxiter` die maximale Anzahl Iterationen,

sind. Die Funktion `newton` soll die approximierte Lösung und die Anzahl benötigten Iterationen zurückgeben.

Hinweis: Die Funktion `np.linalg.solve` kann nützlich sein.

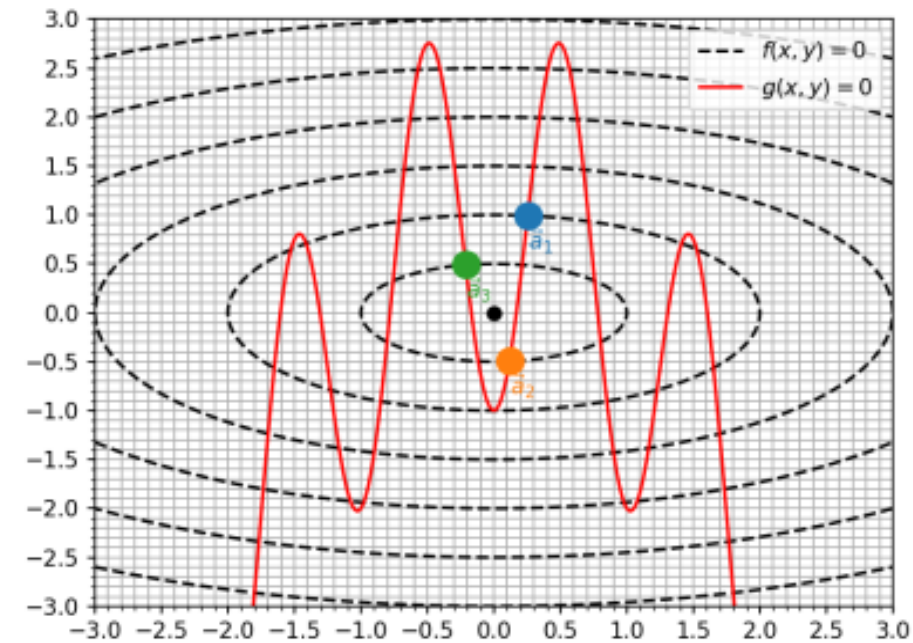


Abbildung 1 – Die Nullstellen von f und g .

c) Schauen Sie sich die Figur 1 an. Hier sind drei Nullstellen eingezeichnet.

- (i) Finden Sie eine Approximation an a_2 mit der Funktion `fsolve` aus `scipy.optimize`;
- (ii) Finden Sie einen Startwert x_0^2 , so dass das Newton-Verfahren mit Initialwert x_0^2 in maximal 100 Schritten mit relativer Toleranz `tol = 10-12` zur eingezeichneten Nullstelle a_2 konvergiert;
- (iii) Für solchen Startwert x_0^2 geben Sie a_2^{fsolve} , a_2^{newton} , $F(a_2^{\text{newton}})$ und die verwendete Anzahl Newton-Schritte N_{it} in folgender Form aus

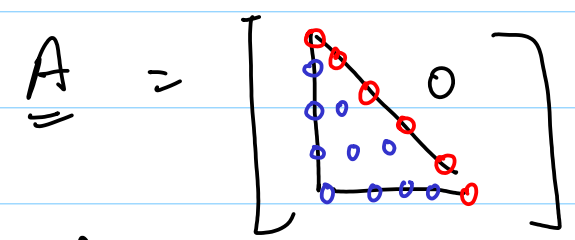
```
Start :  $x_0^2$ 
fsolve :  $a_2^{\text{fsolve}}$ 
Newton :  $a_2^{\text{newton}}$ 
F :  $F(a_2^{\text{newton}})$ 
Iterationen :  $N_{it}$ 
-----
```

Hinweis: zur Verfügung steht neben das Template `Nullstellensuche.py` auch das File `plot_contour.py`, das die Abbildung 1 generiert und nicht modifiziert werden muss.

Fragerunde vom 8.05.2020

Butcher

$$\begin{cases} \underline{k}_1 = f(\underline{y}_0 + h a_{11} \underline{k}_1 + \dots + h a_{1n} \underline{k}_n) \\ \dots \end{cases}$$



Stufen = System alg. nichtlineare Gleichungen.

$$\begin{cases} \underline{k}_1 = f(\underline{y}_0 + h a_{11} \underline{k}_1) & \underline{k}_1 \in \mathbb{R}^d \\ \underline{k}_2 = f(\underline{y}_0 + h a_{21} \underline{k}_1 + h a_{22} \underline{k}_2) & \underline{k}_2 \in \mathbb{R}^d \\ \underline{k}_3 = f(\underline{y}_0 + h a_{31} \underline{k}_1 + h a_{32} \underline{k}_2 + h a_{33} \underline{k}_3) & \underline{k}_3 \in \mathbb{R}^d \\ \dots \\ \underline{k}_n = f(\underline{y}_0 + h a_{n1} \underline{k}_1 + \dots + h a_{nn} \underline{k}_n) & \underline{k}_n \in \mathbb{R}^d \end{cases}$$

bekannt aus den vorigen Stufen.

also in diesen Fall (A = untere Dreiecksmatrix):

wir haben \rightarrow nichtlin.-alg. Probleme in \mathbb{R}^d

\rightarrow leichter als ein nichtlin.-alg. Problem in \mathbb{R}^{pd} .

Sammelt alles Bekannte ($\underline{k}_1, \dots, \underline{k}_{i-1}$)

$$F(\underline{k}) = \underline{k} - f(\underline{y}_0 + \underline{z} + h a_{ii} \underline{k}) \quad \underline{k} \in \mathbb{R}^d$$

Löse $F(\underline{k}) = 0$

$$\underline{z} = h \sum_{j=1}^{i-1} a_{ij} \underline{k}_j$$

Newton-Schritt

Row: Wählt spezielle Form vom Startwert

in Newton: $\underline{k}_i^{(0)} = \sum_{j=1}^{i-1} \frac{d_{ij}}{a_{ij}} \underline{k}_j$

Fragestunde 15.05.2020

$$M_i(t) = M_i(0) e^{-\lambda_i t}, \quad t \geq 0 \quad \text{für } i=1, 2, \dots, n$$

$$G(t) = \sum_{i=1}^n G_i(t) = \sum_{i=1}^n \lambda_i M_i(t)$$

Bekannt: $\lambda_1, \lambda_2, \dots, \lambda_n$

Messungen an $t_1, t_2, \dots, t_j, \dots, t_m$
↳ $G(t_j) \quad j=1, \dots, m$

$$t_1: \lambda_1 M_1(t_1) + \lambda_2 M_2(t_1) + \dots + \lambda_n M_n(t_1) = G(t_1) = G_1$$

$$t_2: \lambda_1 M_1(t_2) + \lambda_2 M_2(t_2) + \dots + \lambda_n M_n(t_2) = G(t_2) = G_2$$

...

$$t_j: \lambda_1 M_1(t_j) + \lambda_2 M_2(t_j) + \dots + \lambda_n M_n(t_j) = G(t_j) = G_j$$

...

$$t_m: \lambda_1 M_1(t_m) + \lambda_2 M_2(t_m) + \dots + \lambda_n M_n(t_m) = G(t_m) = G_m$$

$$\begin{cases} \sum_{i=1}^n \lambda_i M_i(t_j) = G(t_j) \\ j=1, 2, \dots, m \end{cases}$$

$$M_i(t_j) = M_i(0) e^{-\lambda_i t_j}$$

$$\begin{cases} \sum_{i=1}^n \lambda_i e^{-\lambda_i t_j} M_i(0) = G(t_j) \\ j=1, 2, \dots, m \end{cases}$$

$$\underline{A} := \left[\lambda_i e^{-\lambda_i t_j} \right]_{\substack{i=1, \dots, n \\ j=1, \dots, m}}$$

$$\underline{x} = \left[M_i(0) \right]_{i=1, 2, \dots, n}$$

$$\underline{Ax} = \underline{G}$$

$$\underline{G} = \left[G(t_j) \right]_{j=1, \dots, m}$$

$$\begin{aligned} \min \| \underline{Ax} - \underline{G} \|_2 \\ x \in \mathbb{R}^n \end{aligned}$$

$G(t_j) = \text{exakt} \Rightarrow \underline{G}$

$\text{randn}()$ Gauss Verteilung.

$\text{np.random.rand}()$

$\underline{G} = \underline{G} + \text{np.random}(m)$

gleichmässig verteilt.

\hookrightarrow Zufallszahlen zwischen 0,1

$$\underline{A} = \begin{bmatrix} \sin(2\pi t_j) & \cos(2\pi t_j) & \sin(2\pi \cdot 2t_j) & \cos(2\pi \cdot 2t_j) \end{bmatrix}$$

$$\underline{A} \in \mathbb{R}^{m,4} \quad \underline{A} \underline{x} = \underline{G}$$

5. (8 Punkte) Ausgleichsrechnung

Sei das Naturgesetz

$$f(t) = x_0 \sin(2\pi t) + x_1 \cos(2\pi t) + x_2 \sin(2\pi 2t) + x_3 \cos(2\pi 2t).$$

Um die Konstanten x_0, \dots, x_3 zu bestimmen, werden es 21 äquidistante Messungen zwischen 0 und 1 gemacht, die Ergebnisse G sind im Templatefile.

- a) Formulieren Sie ein Ausgleichsproblem zur Bestimmung von x_0, \dots, x_3 .
- b) Lösen Sie dieses Ausgleichsproblem für die Daten im Templatefile mittels Normalgleichung, QR-Zerlegung und mit Standardsoftware aus numpy. Geben Sie jeweils das Ergebnis x_0, \dots, x_3 und das Quadrat der Euklidischer Norm des Residuums aus.

$$\min_{\underline{x} \in \mathbb{R}^4} \| \underline{A} \underline{x} - \underline{G} \|_2$$

\underline{G}

$$\underline{A} \underline{x} = \underline{b} \Rightarrow \underline{A}^T \underline{A} \underline{x} = \underline{A}^T \underline{b}$$

\underline{A}^T | $\underline{A}^T \underline{A}$ symmetrisch

w) t_0, t_1, \dots, t_{N-1} mit $N = 21$.

$$f(t_j) = G_j \quad j = 0, 1, \dots, N-1$$

$$\begin{cases} \sin(2\pi t_j) \cdot x_0 + \cos(2\pi t_j) \cdot x_1 + \sin(2\pi 2t_j) x_2 + \cos(2\pi 2t_j) x_3 = G_j \\ j = 0, 1, \dots, N-1 \end{cases}$$

$$\underline{y} = [0, T] \rightarrow \mathbb{R}^3 \quad \underline{y} = [\gamma_1, \gamma_2, \gamma_3]^T$$

$$\underline{\dot{y}} = \underline{f}(\underline{y}, \underbrace{\gamma_1^2}_{\parallel \gamma_1^2}, \underbrace{\gamma_2^2}_{\parallel \gamma_2^2}, \underbrace{\gamma_3^2}_{\parallel \gamma_3^2}, \underbrace{\cos(\gamma_1)}_{\parallel u_1}, \underbrace{\cos(\gamma_2)}_{\parallel u_2}, \underbrace{\cos(\gamma_3)}_{\parallel u_3})$$

$$\underline{w} = [\gamma_1, \gamma_2, \gamma_3, z_1, z_2, z_3, u_3, u_4, u_5]$$

$$\left\{ \begin{array}{l} \underline{\dot{w}} = \underline{f}(w) \rightarrow \text{ODE} \\ z_1 = \gamma_1^2 \\ z_2 = \gamma_2^2 \\ z_3 = \gamma_3^2 \\ u_1 = \cos(\gamma_1) \\ u_2 = \cos(\gamma_2) \\ u_3 = \cos(\gamma_3) \end{array} \right. \left. \begin{array}{l} \text{Algebraische Gleichungen} \\ \text{Differential Algebraical Equations} \\ \text{Differential-Algebraische-Gleichungen.} \end{array} \right\} \text{DAE}$$

↳ spezielle Techniken.

Fragerunde 22.05.2020

$\underline{A} \in \mathbb{R}^{n \times n}$ invertierbar / voller Rang.

$$\text{cond}(\underline{A}) = \|\underline{A}^{-1}\| \|\underline{A}\|$$

$$\text{cond}(\underline{A}) = \frac{\max_{\|x\|=1} \|\underline{A}x\|}{\min_{\|x\|=1} \|\underline{A}x\|}$$

$$\underline{A} = \underline{U} \underline{\Sigma} \underline{V}^T \quad \underline{U}, \underline{V}^T \in \mathbb{R}^{n \times n} \text{ orthogonal}$$

$$\|\underline{A}x\| = \|\underline{U} \underline{\Sigma} \underline{V}^T x\| = \|\underline{U} \underline{\Sigma} \underline{y}\| = \|\underline{\Sigma} \underline{y}\|$$

$$\|x\|=1 \Leftrightarrow \|\underline{y}\| = \|\underline{V}^T x\| = 1$$

$$\|\underline{A}x\| = \sum_{j=1}^n \sigma_j y_j^2 \quad \text{mit } \|\underline{y}\|=1$$

$$\Rightarrow \max_{\|x\|=1} \|\underline{A}x\| = \sigma_1 \quad \min_{\|x\|=1} \|\underline{A}x\| = \sigma_n$$

$$\|\underline{A}\| = \max_{\|x\|=1} \|\underline{A}x\| = \sigma_1$$

$$\underline{A}^{-1} = \underline{V} \underline{\Sigma}^{-1} \underline{U}^T \Rightarrow \|\underline{A}^{-1}\| = \max_{j=1,2,\dots,n} \frac{1}{\sigma_j} = \frac{1}{\min_{j=1,\dots,n} \sigma_j}$$

Somit sind die 2 Definitionen $\frac{1}{\sigma_n}$ äquivalent.

Annahme $\underline{A} \in \mathbb{R}^{n \times n}$ diagonalisierbar

$$\underline{A} = \underline{S}^{-1} \underline{A} \underline{S}$$

$$|\lambda_1| \boxed{>} |\lambda_2| \geq \dots \geq |\lambda_n|$$

$$|\rho_{\underline{A}}(x_k) - \lambda_1| \leq c \cdot \left| \frac{\lambda_2}{\lambda_1} \right|^k = c \cdot r^k$$

$$r = \left| \frac{\lambda_2}{\lambda_1} \right|$$

$$\frac{\underline{A}^k x}{\|\underline{A}^k x\|_2} \rightarrow \pm \underline{s}_1$$

$$|\rho_{\underline{A}}(x_{k+1}) - \lambda_1| \leq r |\rho_{\underline{A}}(x_k) - \lambda_1|$$

$$\rho_{\underline{A}}(x_k) = \lambda_1 + O\left(\left|\frac{\lambda_2}{\lambda_1}\right|^k\right) \quad \rightsquigarrow$$

$$\rho_{\underline{A}}(x_k) = \lambda_1 + c \cdot \left|\frac{\lambda_2}{\lambda_1}\right|^k$$

$\rho_{\underline{A}}(x_k) \rightarrow \lambda_1$ linear mit Rate $\left|\frac{\lambda_2}{\lambda_1}\right|$

$$|\rho_{\underline{A}}(x_k) - \lambda_1| = c |r|^k$$

Falls \underline{A} normale ($A^H A = A A^H$)

\Rightarrow orthogonale EV

\Rightarrow Fehler $O\left(\left|\frac{\lambda_2}{\lambda_1}\right|^{2k}\right)$

$$|\rho_{\underline{A}}(x_{k+1}) - \lambda_1| = c |r|^{k+1} = r \cdot |\rho_{\underline{A}}(x_k) - \lambda_1|$$

$$\rho_{\underline{A}}(x) - \rho_{\underline{A}}(s_1) = O(\|x - s_1\|_2^2)$$

\hookrightarrow falls \underline{A} symmetrisch

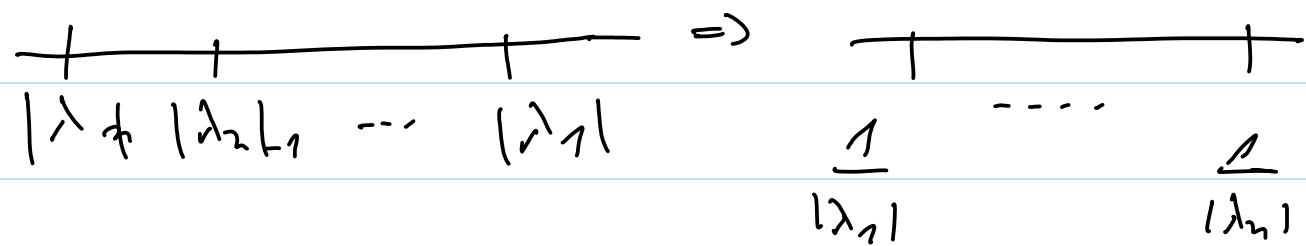
Inverse Potenzmethode.

Annahme A invertierbar.

$$A \underline{x} = \lambda \underline{x} \Rightarrow \underline{x} = \lambda A^{-1} \underline{x} \Rightarrow$$

$$A^{-1} \underline{x} = \frac{1}{\lambda} \underline{x} = A^{-1} \underline{x}$$

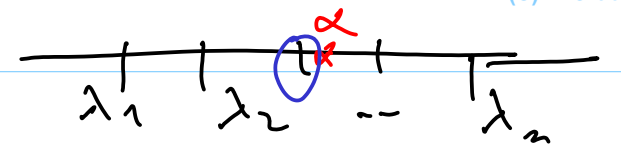
$$\lambda \text{ EW von } \underline{A} \Leftrightarrow \frac{1}{\lambda} \text{ EW von } \underline{A}^{-1}$$



Potenzmethode für $\underline{A}^{-1} \Rightarrow \frac{1}{\lambda_n} \Rightarrow$

$\lambda_n =$ kleinste EW von \underline{A} .

Suchen: EW nah α

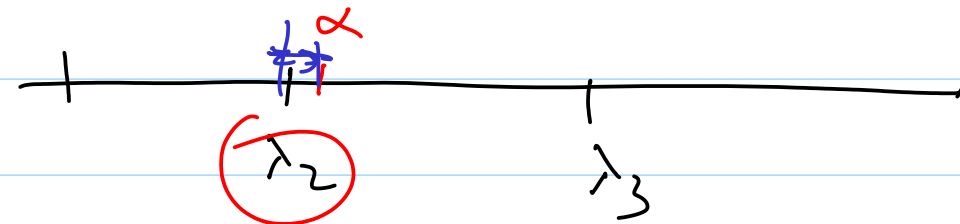


$$|\alpha - \lambda| = \min \{ |\alpha - \mu| ; \mu \in \text{EW von } \underline{A} \}$$

$$A \underline{x} = \lambda \underline{x} \quad | \quad -\alpha \underline{I} \underline{x} \Rightarrow (A - \alpha \underline{I}) \underline{x} = (\lambda - \alpha) \underline{x}$$

$$\frac{1}{\lambda - \alpha} \underline{x} = (A - \alpha \underline{I})^{-1} \underline{x}$$

Potenzmethode für $(A - \alpha \underline{I})^{-1} \Rightarrow \frac{1}{\lambda - \alpha} \Rightarrow \lambda$



Idee: wähle α adaptiv. $\alpha = \frac{\rho(\underline{x}^{(k-1)})}{A}$

